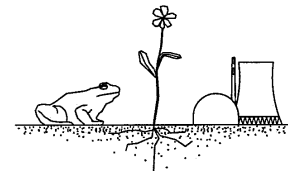


## ISLE OF FROGS



200 million years ago, a shallow sea covered the area of Gösgen. Changing crust formations turned the sea from reef to lagoon to desert and back. With the alternation from sea to desert, layers of clay were deposited, stacking gray silt upon itself and compressing it to hard rock. In the still flat landscape, extensive wetlands formed. Shallow pools were filled with stagnant water of a pleasant 20 degrees. Dragonflies buzzed around between the tall ferns while toads sat lazily in the sun. It has been suggested that volcanic action released large amounts of carbon dioxide, leading to higher temperatures. The ocean circulation was probably fairly sluggish because of the warm temperatures and decreased winds. Polar ice caps did not exist yet.

When the still young plates of Pangea shifted, land mass was pushed up and the sea dried up. Huge cracks covered the surface of the dry clay, creating treacherous ground to walk upon. The luscious plant life withered and died, turning the colourful landscape brown and barren. But with each rainfall, the ground would swell up again. The clay caught the water and prevented it from disappearing into the ground, filling trenches and dips with ponds. And again, life filled the surface.

Amphibians of the family of the toad emerged in the first few million years of the jurassic era, claiming their place in this changing landscape. With a fast reproductive cycle and low demands, they proved resilient in this changing landscape. Bouncing back quickly from large extinction, pioneer species are always the first to reclaim new territory after its destruction.

A catastrophic event marked the end of the jurassic era. 66 million bc, a massive asteroid crashed into earth, devastating the global environment and leading to the extinction of many species that had been dominant up to this point. The family of the Anura, the toads, however seemed unaffected.

Today, a nuclear power plant dominates the area of Gösgen. Built in 1979 it has since provided 15 percent of the energy for Switzerland. Compared to the history of the earth, it has been here but a blink of an eye. And soon it will be gone again. In 2039 The power plant will have reached the end of its lifespan and be shut down, its nuclear fuel removed and its radioactive parts dismantled. The machinery will be gutted and reused. The steam powered turbine can be repurposed in a hydroelectric plant, the diesel emergency engines used in hospitals. The smaller surrounding buildings will be torn down, holes remaining in the ground where they once stood. The cooling tower will be collapsed, its optimized structure easily brought to fall by cutting down four of the supporting columns. More sturdy buildings which are too costly to remove will endure, their sides cut open to allow easier access to recyclable materials. The reactor building will be hollowed out, its internal core removed, leaving only the empty shell. The inside of the reactor building will serve as a memory to the atomic history of Switzerland. A large library will contain the records of all power plants and stored radioactive waste. As the safeguard protocol dictates, all records of radioactive interaction have to be kept to ensure that nobody is secretly building atomic bombs. This growing pile of documents will provide guidance for future generations, navigating a postatomic world. Or help them avoid nuclear waste. To safely store the radioactive waste the power plant has produced, a hole is dug into the earth 600 meters deep. This layer of earth we already know. It is the same clay which formed 200 million years ago in the jurassic era.

The uniform layers of this opaline clay provide a waterproof shelter for the material to cool down for the next 100 000 years. (The location of the final storage will not be in Gösgen. Another municipality will have to share the burden of atomic energy production.) The excavated clay will trade places with the radioactive waste and be brought back to Gösgen. There, it will be piled up and spread over the area of the former power plant.

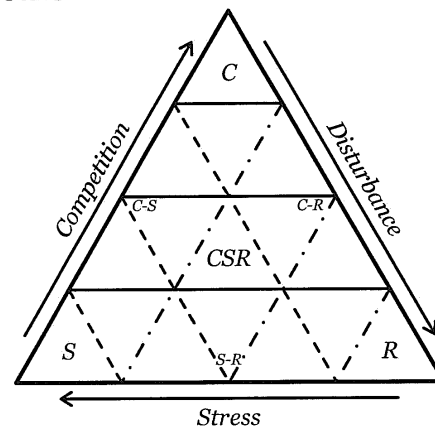
Clay is not a material well suited for piling up. Once rain falls on the clay, it becomes heavy and slippery, resulting in landslides. The machinery needed to pile up the clay will have to stay in operation to keep feeding the hill with its own runoff. Between stretches of rain, plants will start to grow, taking root and stabilizing the slopes only to be partly washed away again with the next rain. A fluctuating landscape will be created, held in balance by rain and gravity on one side, machine and plant life on the other.

Let's imagine the year 2090.

Shallow pools are filled with stagnant water of a pleasant 20 degrees. Dragonflies whizz around between the tall ferns while a toad sits lazily in the sun. It has been suggested, that industrial action released large amounts of carbon dioxide, leading to higher temperatures. After longer periods of drought, huge cracks cover the surface of the dry clay, creating treacherous ground to walk upon. The luscious plantlife withers and dies, turning the colourful landscape brown and barren. But with the next rainfall, the ground swells up again. The clay catches the water and prevents it from disappearing into the ground, filling trenches and dips with ponds. And once again, life fills the surface.

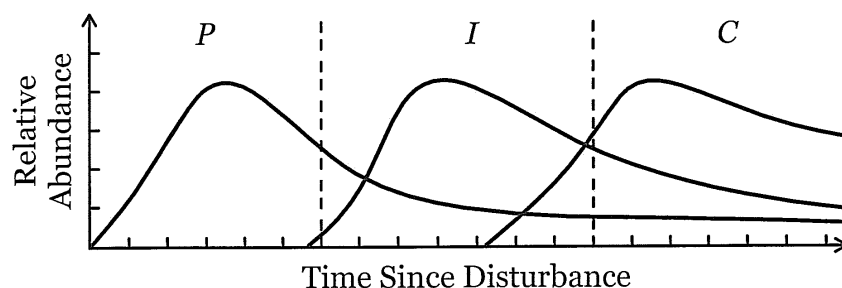


## PIONEER SPECIES



Grime's theory of C-, S-, and R-selection suggests that there are three selection pressures on plants that result in three strategies or functional types: competitive (C), stress tolerant (S) and ruderal (R). After disturbance, succession proceeds from the bottom right hand corner of the diagram (maximum influence of disturbance) towards the C-S side of the triangle. The pathway towards the C-S axis will be determined by the level of stress (e.g. productivity of the soil, shading etc.), which can change throughout the succession.

Without repeated disturbance, R-type plants will be outcompeted by more efficient C-type plants or more stress resistant R-type plants.



*P* = Pioneer Stage with annual plants like grasses, ferns and wildflowers

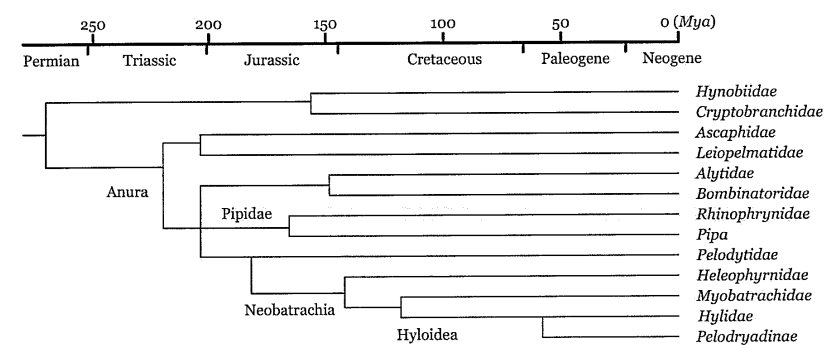
*I* = Intermediate Species consisting of shrubs, pines and young oaks

*C* = Climax Community mature oak and sycamore trees

## ABOUT TOADS

A frog is any member of a diverse and largely carnivorous group of short-bodied, tailless amphibians composing the order Anura (literally without tail in Ancient Greek). An adult frog has a stout body, protruding eyes, anteriorly-attached tongue, limbs folded underneath, and no tail. Frogs have glandular skin, with secretions ranging from distasteful to toxic.

Toad is a common name for certain frogs that are characterized by dry, leathery skin, short legs, and large bumps covering the parotoid glands. A distinction between frogs and toads is not made in scientific taxonomy, but is common in popular culture, in which toads are associated with drier, rougher skin and more terrestrial habitats. It's a myth that handling toads causes warts. Another folklore belief is that a so called bufonite or toadstone is set in the toad's skull which could cure poison. Since the toad possesses poison glands in its skin, it was naturally assumed that they carried their own antidote and that this took the form of a magical stone. Mention of bufonite was first recorded by Pliny the Elder in the first century AD. Contrary to their bad reputation, toads occupy an important niche in ruderal ecosystems controlling insect population and providing food resource for bigger predators like birds and reptiles.



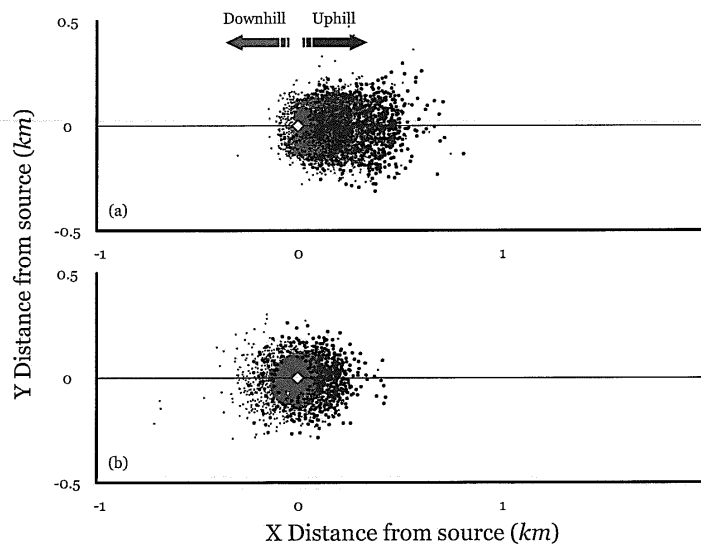


# **SEED CATCHER**

Seed dispersal, or the transport of seeds away from a parent plant, is the main movement mechanism of plants. While some plants produce fruit which is dispersed by animals, most flowers rely on wind as their main propelling force.

Hilly terrain changes the basic balance of forces driving wind flow compared to flat terrain. Seed dispersal distances on hills with upwind are up to two times longer than on flat terrain.

The main factors affecting wind flow over a hill are the hill slope, surface roughness and the atmospheric stability parameter. A plant located on a hill slope will disperse, at least over short distances, mostly uphill toward the crest. This is contrary to the flat-terrain scenario, where the majority of the seeds are dispersed in the direction of the prevailing regional wind and any reversal in direction is only due to turbulence.



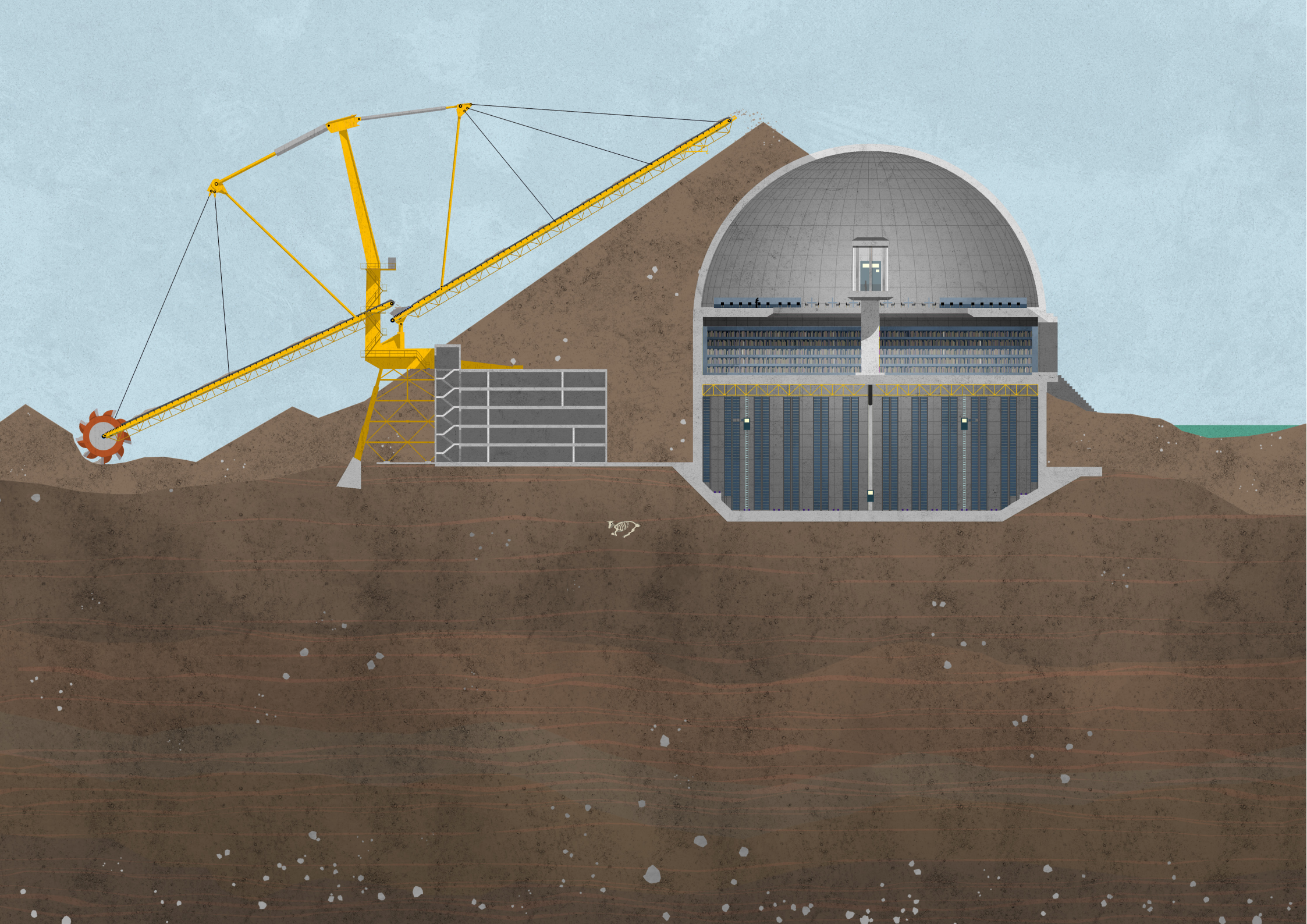
An example of the effect of topography on dispersal directionality (a) on flat topography and (b) on a symmetric cosine hill with 10% slope, released from mid-slope. The seed release location is marked by rhombs.

## **STOPPING POWER**

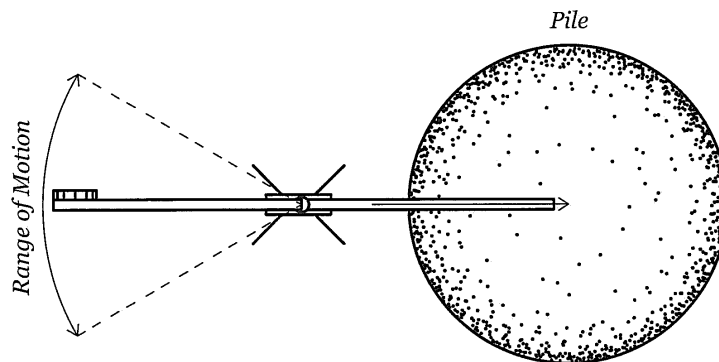
Compressed by 200 million years and the pressure of 600 meters of earth and rock, opaline clay is densified into hard slate-like plates. The clay can be found north of the alpine region stretching up to the southern parts of Germany and France. The name opalinus derives from the *Leioceras opalinum*, a type of marine mollusc whose fossil can commonly be found in the clay.

Radiative diffusion through material is influenced by water passing through. Since the opaline clay is slated, waterflow is greatly constricted to horizontal direction. Almost any material can act as a shield from radiation if used in sufficient amounts. The effectiveness of shielding is dependent on its stopping power, a factor which varies with the type and energy of radiation and the shielding material used. Stopping power increases with material density, except for neutron shielding, which only works for materials which can absorb neutrons. Because of its slight negative charge and its low Z-Value, the opaline clay provides a higher neutron shielding than its surrounding materials.

Bore Hole Probe Gösgen				Koord: 640.194 / 246.243; 381 m.a.s.l.			
Geol. Entity	Depth	Lithology	Appearance	Geol. Entity	Depth	Lithology	Appearance
Quatern.	m		Gravel and rubble, (up to 15 cm) sandy matrix, grey limestone boulders		498.0		Limestone, biotritus, merl, sandy and ferroolithe
	30.0		Limestone, beige, brownish with biotritus, partly arenitic				
	45.0						
	50.0						
	66.0						
	96.0						
	105.0						
	126.0						
	132.0						
	152.0						
	156.0						
Oxfordian Jurassic			lime and marl, grey, silt to fine sand with thin lines of limestone and biotritus	Brown Dogger	498.0		Clay-rock, grey and silty to slated. Parts of mica and pyrite, brown inclusions of siderite
				Opaline Clay			
				Lias	588.0		Limestone with biotritus, grey-beige, partly glauconic, sandy

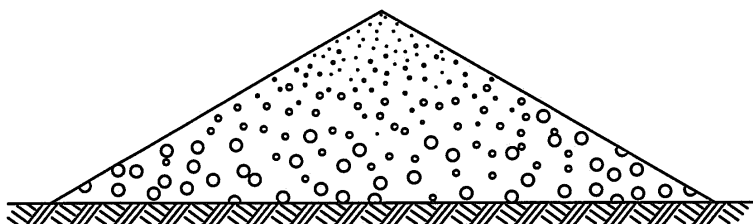


## SUPER SPREADER

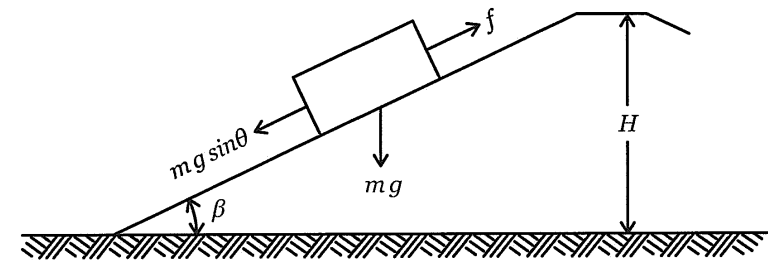


Spreaders are machines that operate at the end of a mining system and continuously dump or spread material received from transfer conveyors. The main design criterion is the length of the discharge boom, determined by the required dumping height as well as the properties of the material dumped.

Different-size pieces in a material being piled or disturbed have a tendency to separate from each other, so that a disproportionately large amount of coarse pieces will be found in one part of the pile and finer ones in another. When a pile is built from the top, material falls or settles onto the pile, picking up greater or less momentum from the downward movement. Small particles develop little energy, and tend to come to rest almost immediately. Larger ones have enough momentum to slide or roll down the surface, the biggest tending to reach the ground.



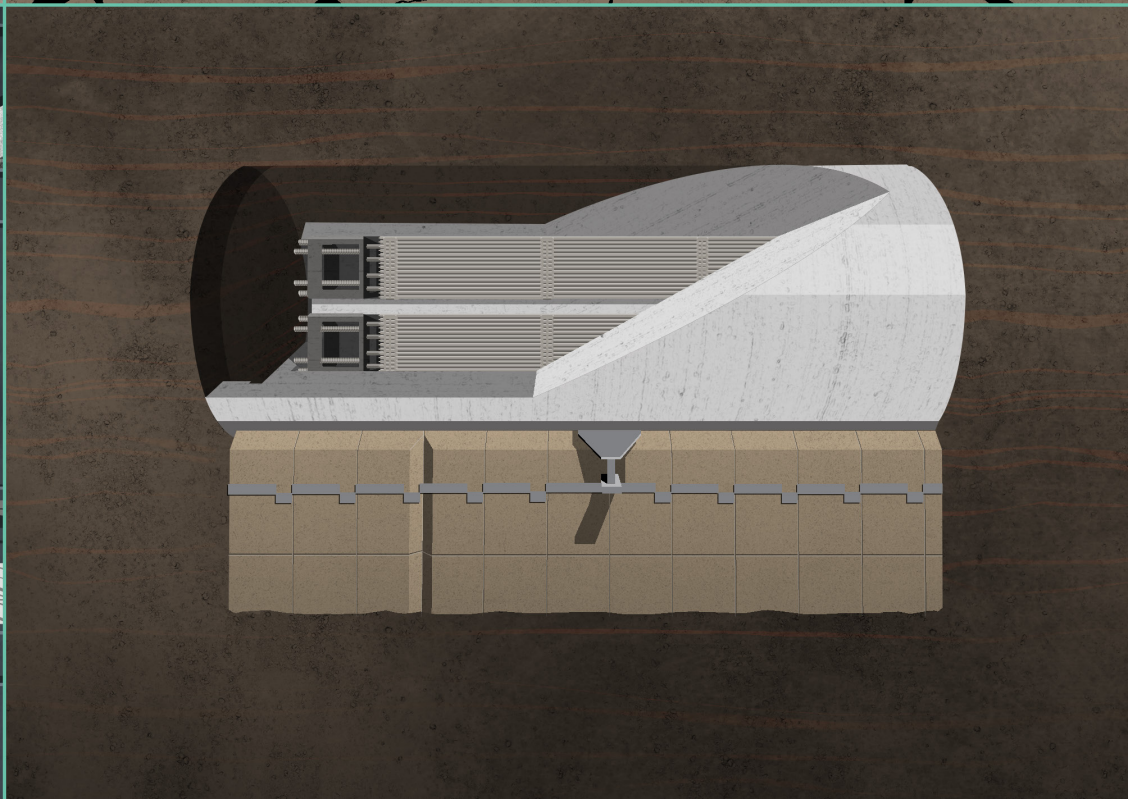
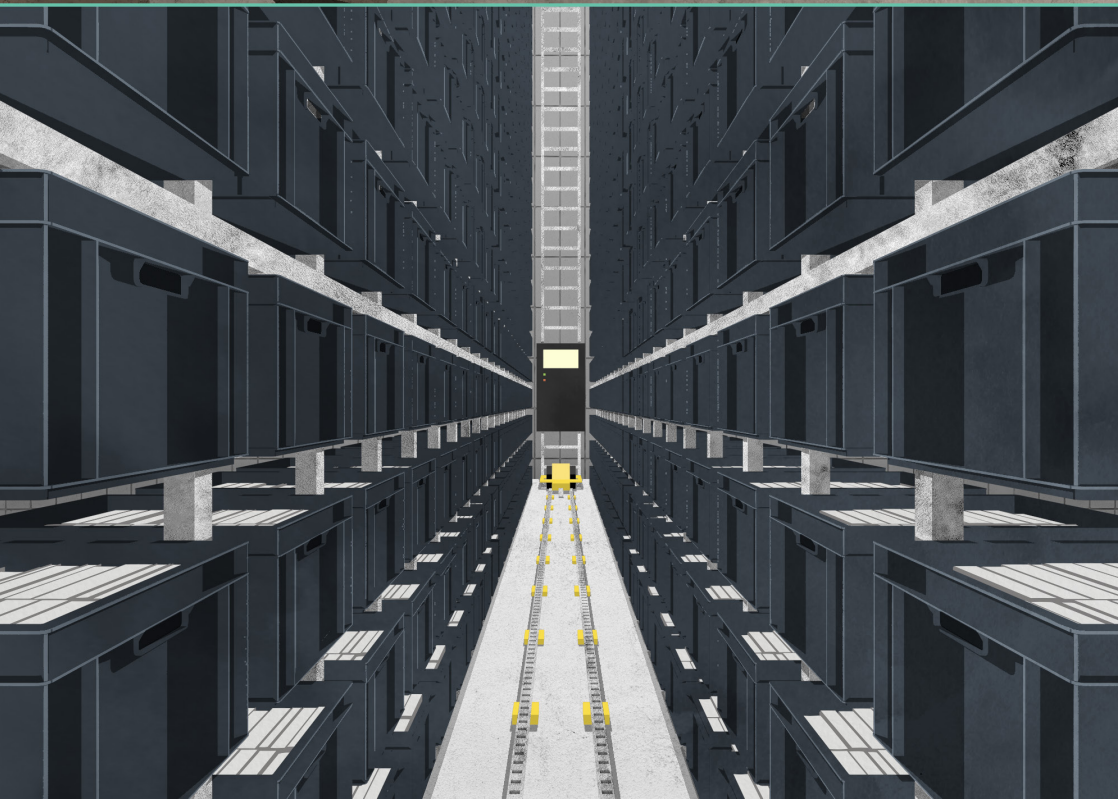
## STABILITY OF SLOPES



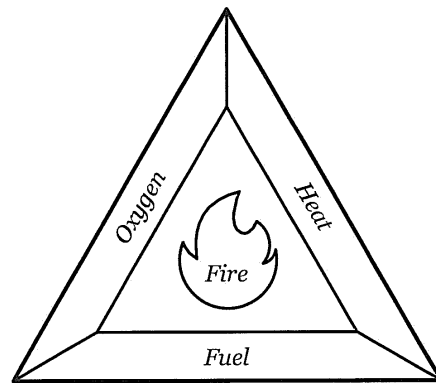
The failure of a mass of soil in a downward and outward movement of a slope is called a slide or slope failure. Slides occur in almost every conceivable manner, slowly or suddenly and with or without any apparent provocation. They are usually caused by excavation, by undercutting the foot of an existing slope, by a gradual disintegration of the structure of the soil, by an increase of the pore water pressure in a few exceptionally permeable layers or by a shock that liquefies the soil. Two types of slope stability problems occur in clays; short-term stability (end-of-construction case) and long-term stability (steady seepage case). The short-term case applies after a cut is made in a slope and can be neglected in our case. Stability analysis determines whether the given or proposed slope meets the safety requirements: soil mass under given loads should have an adequate safety factor with respect to shear failure and the deformation of the soil mass under the given loads should not exceed certain tolerable limits.

$$mg \sin(\beta) = F$$

mass kg/m<sup>3</sup>
frictional force N  
9.81 m/s<sup>2</sup>
slope angle °

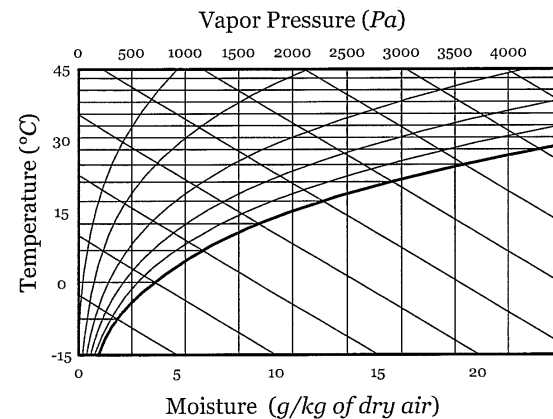


## HYPOXIC ARCHIVE



In a volume protected by hypoxic air, normobaric hypoxic atmosphere is continuously retained. Hypoxic means that the partial pressure of the oxygen is lower than at sea level. Normobaric means that the barometric pressure is equal to sea level. Once the oxygen level falls below 15 %, health risks begin to increase and human operation of the storage is not possible anymore. Below 10 % Oxygen level, a flame will not burn anymore and composition of matter is halted.

To prevent condensation, humidity and temperature have to be kept constant. If one or the other rise, the mollier h,x diagram shifts and condensation can occur. The higher the mass of the surrounding earth and structure, the more of the seasonal and daily fluctuation in temperature is compensated.

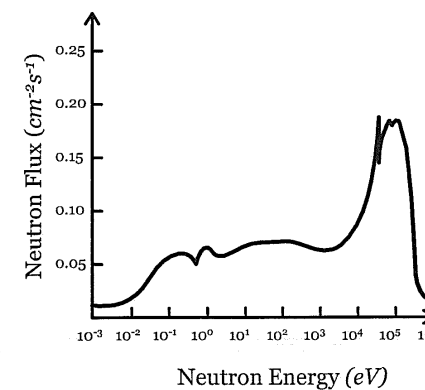


## SAFEGUARD REGULATION

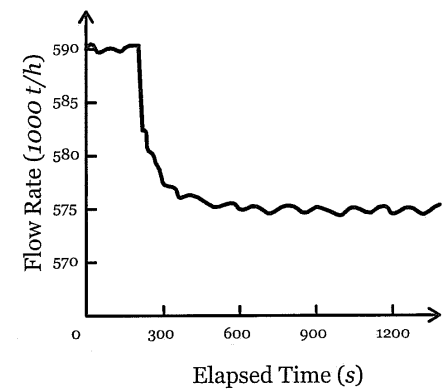
The Safeguard Regulations of the IAEA aim to enforce accountability for all its member states. Through comprehensible records, each state has to record all actions with fissile materials. Thus, impeding secret enrichment of weapon-grade material. This regulation applies to:

- a. Source material for nuclear fission
- b. Research reactors
- c. Power reactors
- d. Interim storage facilities
- e. Deep geological repositories
- f. Facilities which used to or will use nuclear material
- g. Nuclear armament
- h. Import, possession and export of nuclear material
- i. Research and development connected to nuclear fission

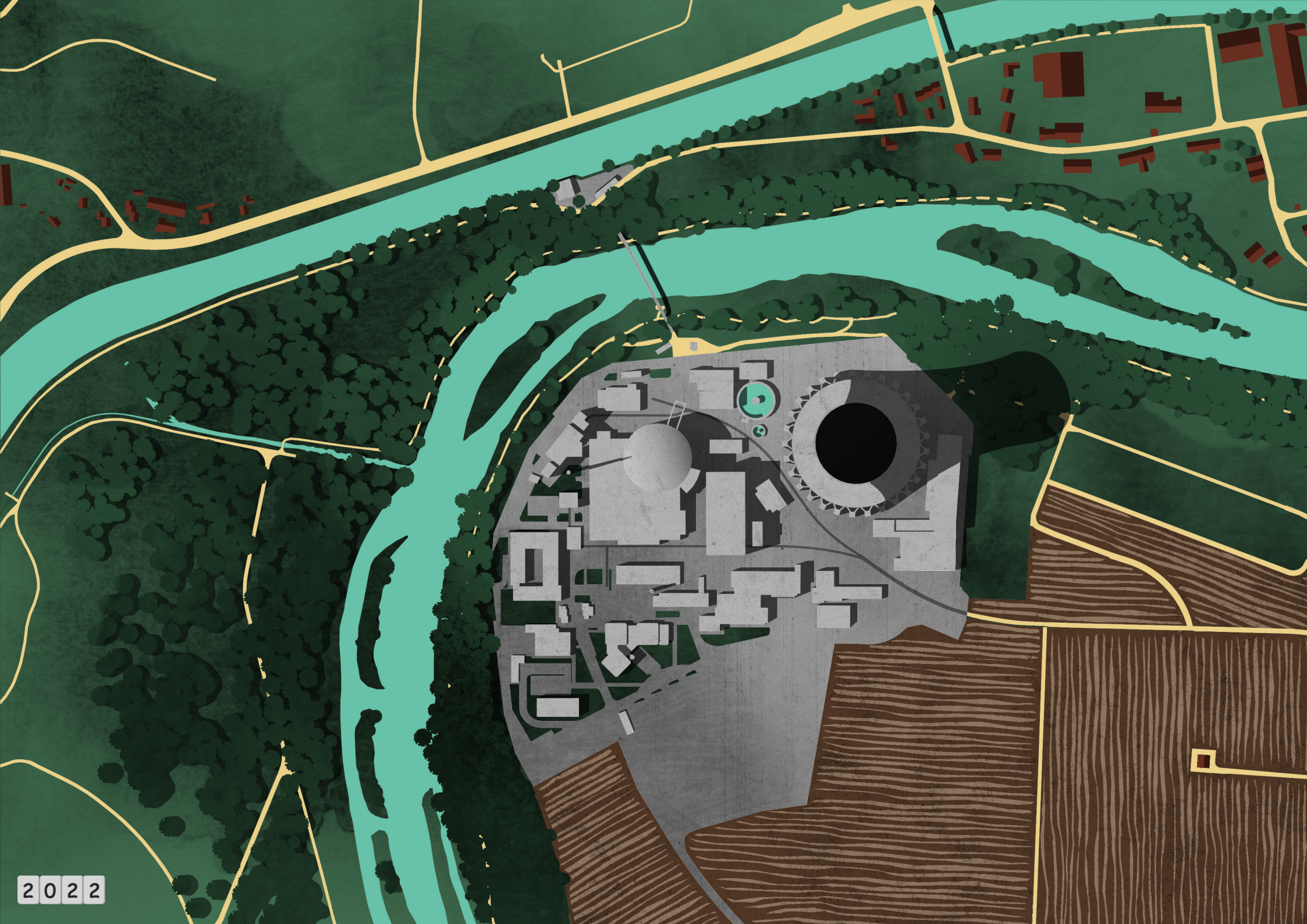
While some of this information can be destroyed after ten years, other information will have to be stored for future generations.



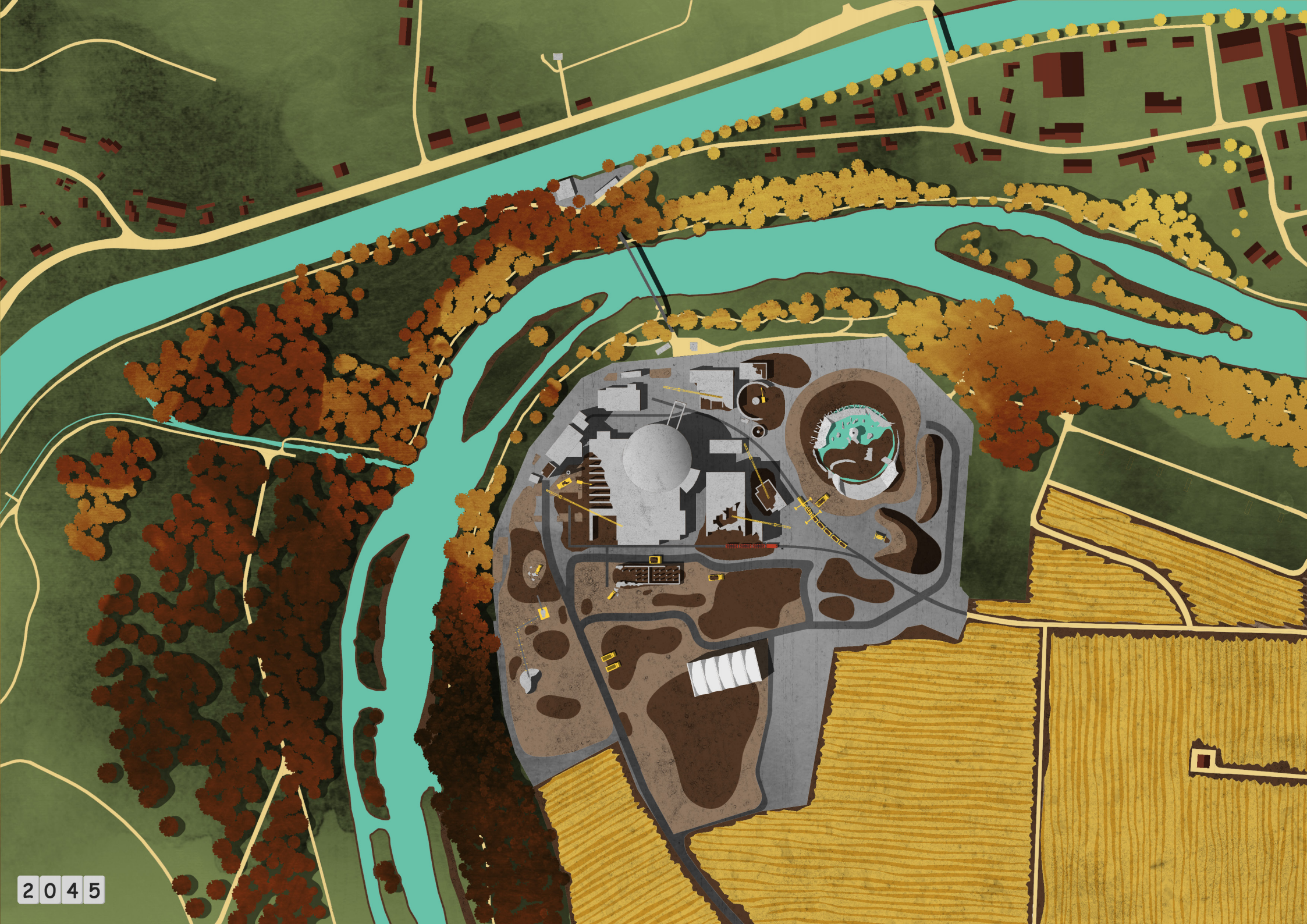
Neutron flux It is the total length travelled by all free neutrons per unit time and volume. Power produced is deduced from measurement of neutron flux.



Primary coolant flow ( $F_c$ ) is a basic safety parameter in reactor systems. ( $F_c$ ) may be varied as a means for load following in modern power reactors.



2022



2045



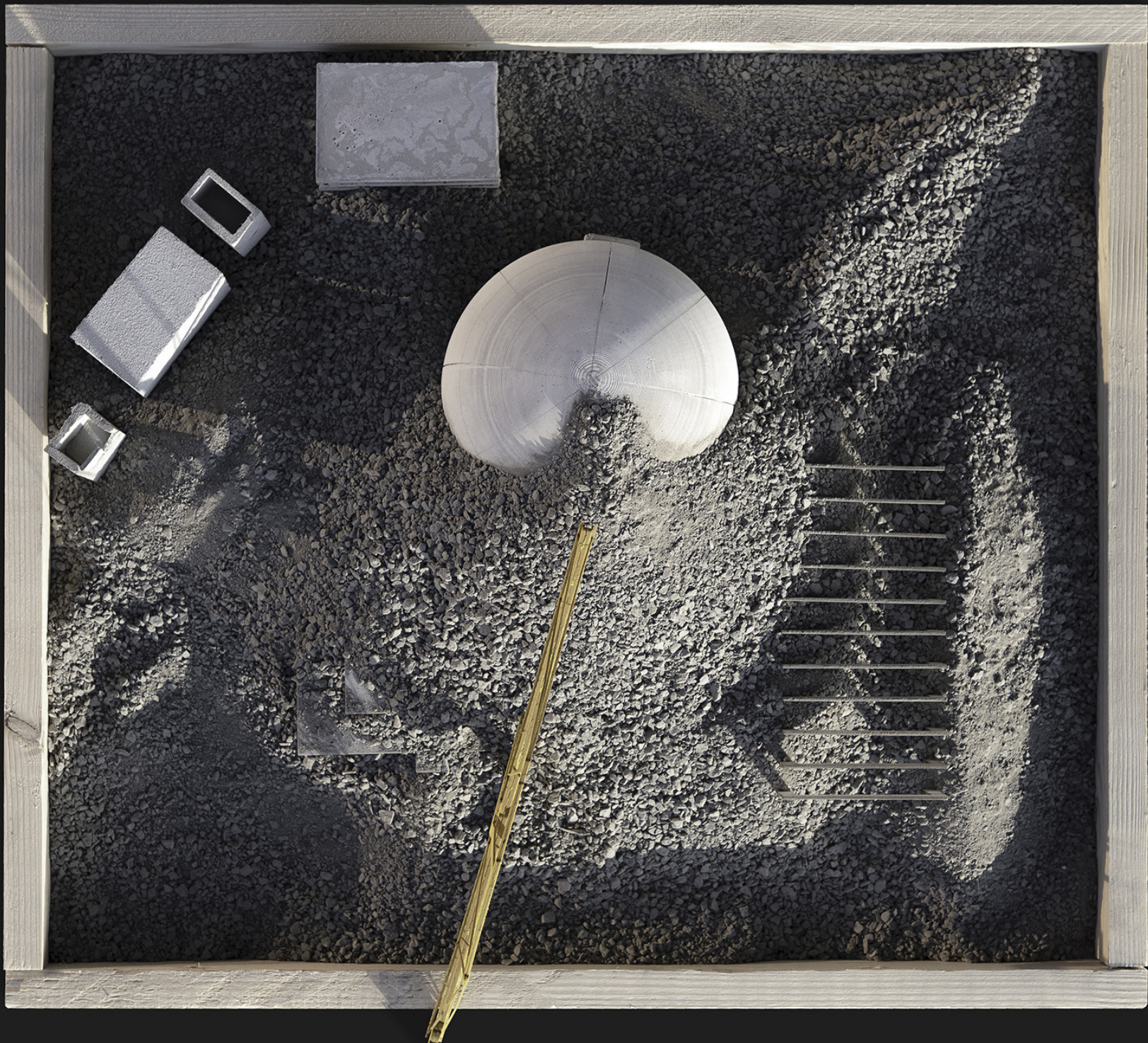
2060

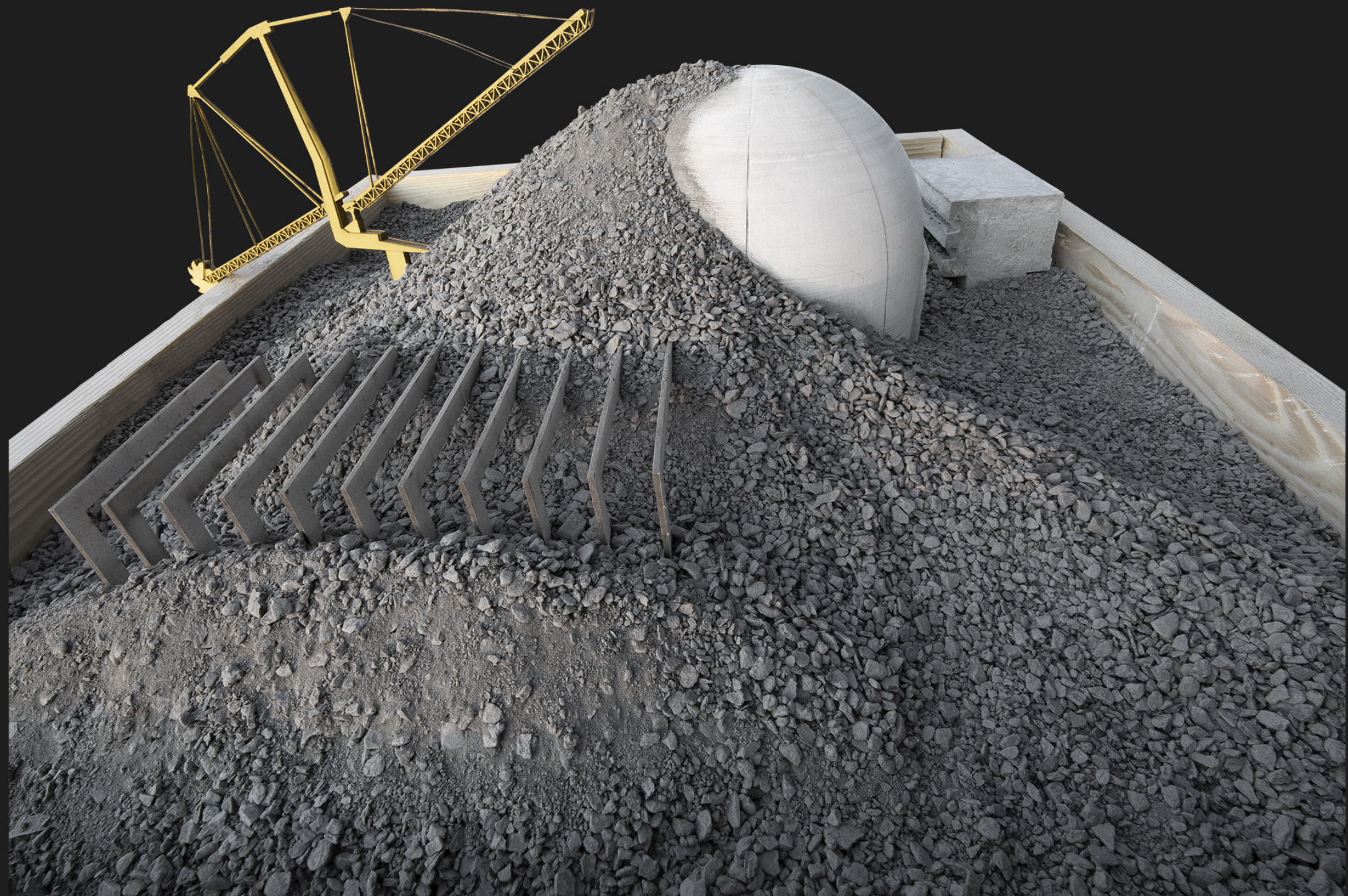




2090

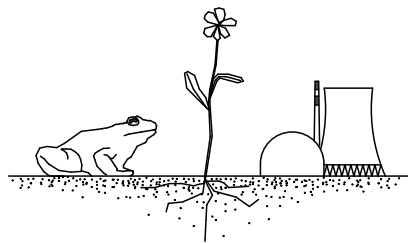






# **ISLE OF FROGS**

## **APPENDIX**



BY

Jonas Schüpbach

**Professur Urprung and Emerson  
2022 ETH Zürich**



**Fig. 1.** Howard Carter  
Excavation of Tutankhamun's tomb

## CONTENTS

---

*PART ONE — THE CLAY*

*PART TWO — BUFOMANIA*

*PART FOUR — ATOMIC ERA*

*PART FIVE — HYPOXIC ARCHIVE*



PART ONE

---

## THE CLAY

# THE CLAY

Cantieni Linard  
AW: Aushubmasse eines Endlagers  
An: Schüpbach Jonas, Kopie: Anagnostou Georgios

Sehr geehrter Herr Schüpbach  
Zur Zeit gehen wir für ein Kombilager (also SMA und HAA-Lager am gleichen Standort) von ca. 1.4 Mio. m<sup>3</sup> festen Opalinuston und ca. 0.2 Mio. m<sup>3</sup> fest übriges Ausbruchmaterial aus.  
Ich bin an den Resultaten Ihrer Arbeit interessiert. Besteht die Möglichkeit, dass ich diese erhalte? Welche Aufgabenstellung haben Sie?  
Hoffe, dass ich Ihnen damit weiterhelfen konnte.  
Freundliche Grüsse  
Linard Cantieni  
[Mehr anzeigen von Schüpbach Jonas](#)

--  
PRIVILEGED AND CONFIDENTIAL

We hereby inform you, as addressee of this message, that e-mail and Internet do not guarantee the confidentiality, nor the completeness or proper reception of the messages sent and, accordingly, the sender does not assume any liability for such circumstances. In particular, e-mail transmissions are not binding for the purposes of forming a contract.

This message is intended exclusively for the recipient(s) to whom it is addressed and may contain legally privileged and confidential information protected from disclosure by law. If you are not the intended recipient of this message, you should immediately delete it and any attachments thereto and notify the sender by return e-mail or by phone at the above number or (+41 56 437 11 11). In such a case, you are hereby notified that any dissemination, transmission, distribution, copying or use of this message or any attachments thereto, for any purpose, is strictly prohibited by law.

☆ Cantieni Linard  
AW: Aushubmasse eines Endlagers  
An: Schüpbach Jonas, Kopie: Anagnostou Georgios

Guten Tag Herr Schüpbach  
Noch ein Nachtrag zu meinem Mail gestern.  
Verwenden sie doch den folgenden Bericht als Grundlage: [Arbeitsbericht NAB 19-15 | Nagra](#). Darauf können sie verweisen. Auf den Seiten 19, 23 & 24 finden sie Angaben zu den Volumen. Weiter finden sie Bauablaufpläne, die ihnen Informationen zum Zeitpunkt des Anfalls geben. Die Mengen weichen leicht ab von denen in meinem Mail gestern. Da wir uns noch in der Standortevaluation befinden, gibt es noch kein festgelegtes Projekt. Bei den Angaben handelt es sich um generische Mengen für ein typisches Tiefenlager.  
Freundliche Grüsse  
Linard Cantieni  
[Mehr anzeigen von Cantieni Linard](#)

Gefunden im Postfach „Gesendet – ETH Mail“

Jonas Schüpbach  
Aw: Aushubmasse eines Endlagers  
An: Cantieni Linard, Kopie: Anagnostou Georgios

Guten Tag Herr Cantieni  
Vielen Dank für die Auskunft. Ich beschäftige mich momentan vor allem mit der Frage, ob eine mögliche Synergie zwischen dem freiwerdenden AKW Standort Gösgen und dem Aushub des Endlagers besteht. Das Ausmass meiner Arbeit ist momentan noch schwer abzuschätzen, die Arbeit soll jedoch sowohl grafischer als auch performativer Natur sein. Gerne lasse ich Ihnen die Resultate meiner Arbeit zukommen. Ich werde jedoch noch bis Ende Januar damit beschäftigt sein.  
Freundliche Grüsse Jonas Schüpbach  
[Mehr anzeigen von Cantieni Linard](#)

**Fig. 2.** Mail Exchange with NAGRA official

## THE CLAY



**Fig. 3.** Fricktal , Switzerland  
Opaline Clay in Tractor Tracks

## THE CLAY



**Fig. 4.** Fricktal, Switzerland  
Excavation Site of Opaline Clay for  
Brick Production

## THE CLAY



**Fig. 5.** Fricktal, Switzerland  
Pattern of Erosion in Riverbed



**Fig. 6.** Fricktal, Switzerland  
Cracked Opaline Clay

## THE CLAY



**Fig. 7.** Fricktal, Switzerland  
Eroded Opaline Rock

## THE CLAY



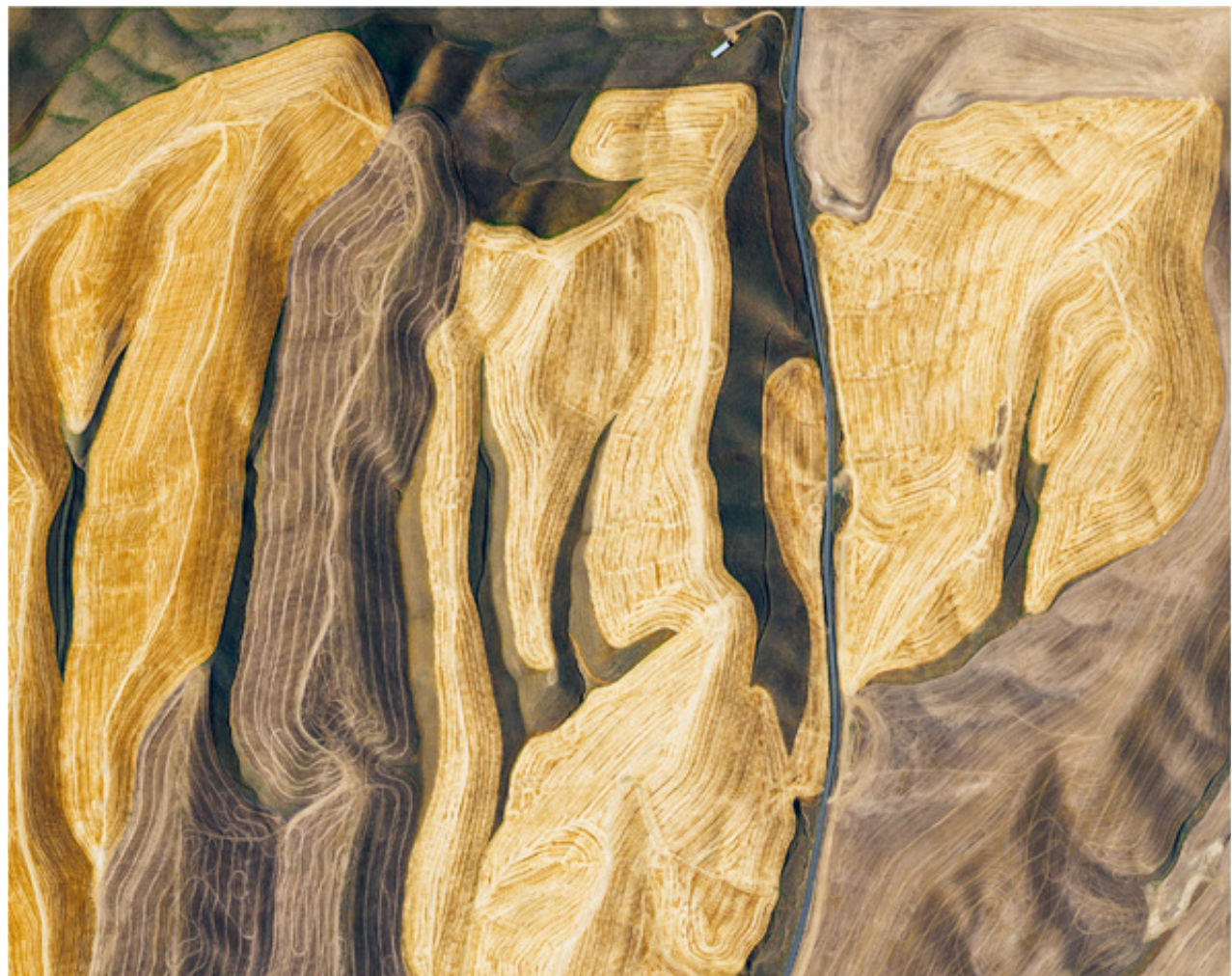
**Fig. 8.** Fricktal, Switzerland  
Pile of Opaline Clay  
Keller AG Brick Works

THE CLAY



**Fig. 9.** Loos-En-Ghoelle, France  
Abraumhalde

## THE CLAY



**Fig. 10.** Walla Walla County, USA  
Rural Patterns

THE CLAY

**O & K**  
**SAND-, TON- UND ZIEGELEI-**  
**EIMERBAGGER**  
**TYPE Z**  
für Hoch- und Tiefbaggerung  
ist wirtschaftlich · zuverlässig · dauerhaft



**O & K**

**ORENSTEIN & KOPPEL A.-G.**

BERLIN SW 61 · DORTMUND · BOCHUM · HAMBURG  
KÖLN · FRANKFURT AM MAIN · MÜNCHEN · STUTTGART

**Fig. 11.** Advertisement  
Bucketdigger

## THE CLAY



**Fig. 12.** Garzweiler, Germany  
Open Mining Pit for Brown Coal

## THE CLAY

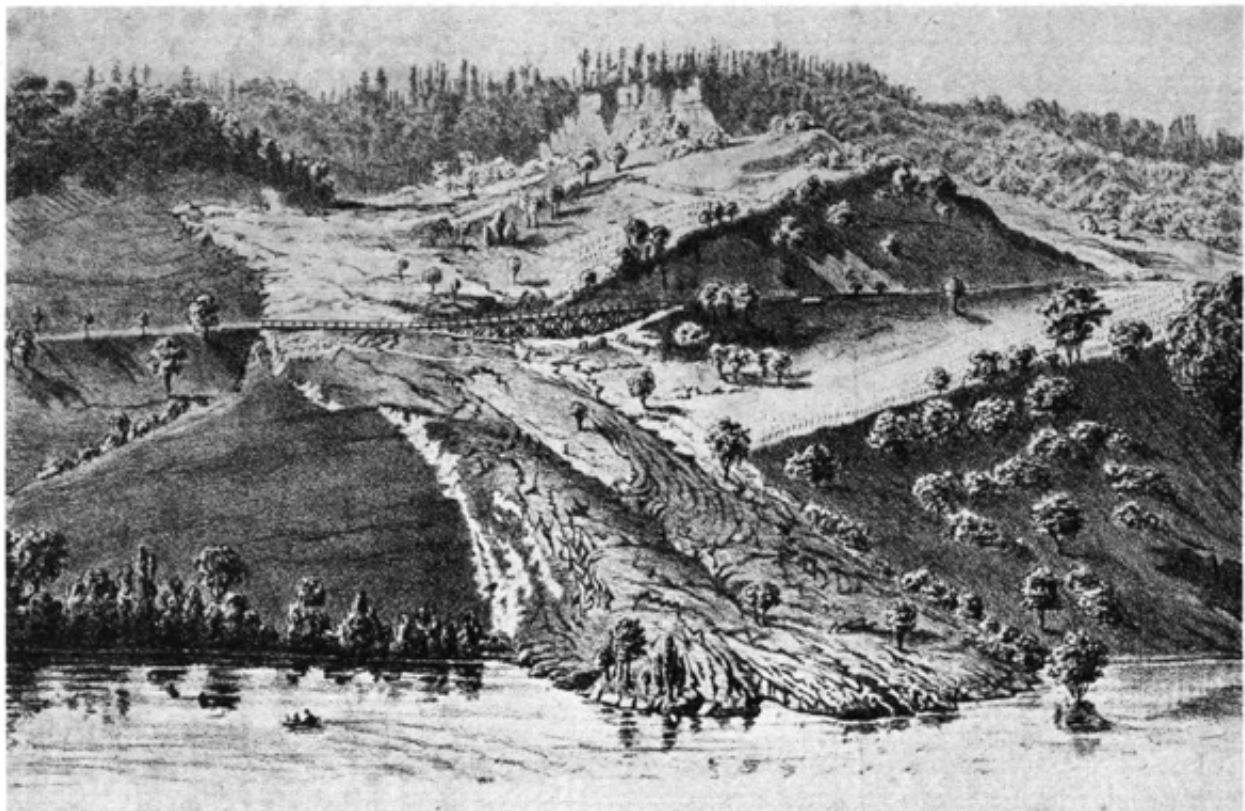


Abb. 3. Großer Rutsch in Opalinuston im Jahre 1876 nach einer Zeichnung von A. BALTZER. Ähnlichkeit mit einem Gletscher.  
Vorstoß in die Aare

**Fig. 13.** A. Baltzer  
Opaline Clay Landslide

# THE CLAY

## 10 STABILITY OF EARTH SLOPES

HSAI-YANG FANG, Ph.D.  
Professor of Civil Engineering  
Lehigh University

GEORGE K. MIKROUDIS, Ph.D.  
President  
AVANSE, Ltd.

### 10.1 INTRODUCTION

The failure of a mass of soil in a downward and outward movement of a slope is called a slide or slope failure. Slides occur in almost every conceivable manner, directly or indirectly, and with or without apparent precipitation. They are usually caused by excavation, by undercutting the foot of an existing slope, by a gradual disintegration of the structure of the soil, by an increase in pore water pressure, or a few exceptionally permeable layers, or by a short-term liquefaction soil.

Two types of slope stability problems occur in clays: short-term stability (end-of-construction case) and long-term stability (steady seepage case). The short-term case appears after a cut is made in a slope. In each case, shear stresses are induced which may cause failure in the undrained state. Theoretically it is possible to analyze the stability of a newly cut slope on the basis of either total or effective stresses; however, the latter is difficult because of the variation of pore pressures under these conditions, the  $\phi = 0$  method of analysis (total stress method) has proved more successful.

The long-term case is also encountered in natural slopes and should also be considered in analyzing the stability of embankments. In these cases, pore pressures are assumed to be in equilibrium and are determined from considerations of steady seepage; thus, no excess pore pressures are included. This can be done by the method of the drained shear test, and effective stress parameters should be used.

On the basis of field observations and laboratory analyses, it is concluded that for short-term stability analysis of non fissured clay, the  $\phi = 0$  method is most appropriate. For fissured overconsolidated clays, the  $\phi = 0$  method is not safe unless account is taken of reduced strength due to the degree of fissures. The effective stress method of analysis should be used for long-term stability analysis (Bjerrum, Kjaerulf, 1957; Hansen and Simonsen, 1962; Bjerrum, 1962; both nonfissured and overconsolidated fissured discontinuous clay).

For overconsolidated clays, Skempton (1964) suggested use of the residual shear strength concept for long-term slope analysis. The residual shear strength can be obtained from slow-drain shear tests and its behavior is discussed in Section 3.13 (Chapter 3).

Detailed discussions on the method of selection of strength parameters and failure surfaces for stability investigation in cohesive soils are given by Lowe (1967), Schuster (1968), Cancelli (1977), and Nguyen (1985).

Stability analysis determines whether the given or proposed slope meets the safety requirements; soil resistance given should be adequate, safe enough with respect to shear failure and the deformation of the soil mass under the given loads should not exceed certain tolerable limits. The analysis

must be made for the worst conditions, which seldom occur at the time of investigation. Not only is knowledge of analytical methods required, but experience and judgment are necessary to predict probable changes in conditions.

### 10.2 FACTORS AFFECTING SLOPE STABILITY ANALYSIS

There are numerous factors that affect slope stability analysis. These factors include: failure plane geometry, nonhomogeneity of soil layers, tension cracks, dynamic loading or earthquakes, and seepage flow. Brief discussions of each of these factors are presented in the following sections.

The uses of the circular arc and logarithmic spiral failure planes for stability analysis have been discussed by Spencer (1969) and Chen (1970), on the basis of numerical analyses. Spencer suggested that the circular arc is more critical than the logarithmic spiral arc for the cross section of the rupture surface. However, Chen points out that the shape of the failure plane is not sensitive in the analysis of the stability problem. The advantage in assuming the logarithmic spiral angle equals the value of the internal angle of friction in the soil in all annular forces acting on the spiral slip surface are directed toward the center of the spiral. Because of this condition, the analysis becomes very simple and it permits the stability problem to be solved in a relatively simple mathematical form.

Sols may be isotropic depending upon the environmental condition of deposition and subsequent stress changes during geological time. Lee (1963), based on Taylor's work, developed a general method for calculating strength for anisotropic soils subject to undrained conditions. A mathematical expression has been obtained for the case in which the vertical strength is constant with depth and for which it increases linearly with depth. It was found that the steepness of the effect of anisotropy is small. However, for flatter slopes, the influence of anisotropy on the solution can also be found by limit analysis techniques, which is discussed later in this chapter.

Studying the effect of tension cracks on slope stability, Spencer (1968) found that the overall factor of safety decreased as the depth of the tension crack increased. The reduction in the factor of safety was however very small. The effect of water pressure in a tension crack on the position of the critical circle was also found to be rather small.

The effect of dynamic loading including earthquakes on slope stability should be considered. On the basis of laboratory tests, Elling and Hansen (1960) reported that the dynamic strength of soil may be 10% or greater than soil strength under static loadings. Therefore, the dynamic soil strength should be

iky (1936),

(10.2)

$\geq \text{cohesion}$   
 $\geq \text{frictional}$   
 $\geq \text{full friction}$   
 $\geq \text{or safety}$   
 $\geq \text{by Taylor}$

These may

(10.3)

$\geq \text{frictional}$   
 $\geq \text{sum height}$   
 $\geq \text{or safety}$   
 $\geq \text{by Bishop}$   
 $\geq \text{method}$   
 $\geq \text{1976}$

(10.4)

$\geq \text{frictional}$   
 $\geq \text{sum height}$   
 $\geq \text{or safety}$   
 $\geq \text{by Bishop}$   
 $\geq \text{method}$   
 $\geq \text{1976}$

(10.5)

$\geq \text{frictional}$   
 $\geq \text{sum height}$   
 $\geq \text{or safety}$   
 $\geq \text{by Bishop}$   
 $\geq \text{method}$   
 $\geq \text{1976}$

(10.6)

$\geq \text{frictional}$   
 $\geq \text{sum height}$   
 $\geq \text{or safety}$   
 $\geq \text{by Bishop}$   
 $\geq \text{method}$   
 $\geq \text{1976}$

(10.7)

$\geq \text{frictional}$   
 $\geq \text{sum height}$   
 $\geq \text{or safety}$   
 $\geq \text{by Bishop}$   
 $\geq \text{method}$   
 $\geq \text{1976}$

(10.8)

$\geq \text{frictional}$   
 $\geq \text{sum height}$   
 $\geq \text{or safety}$   
 $\geq \text{by Bishop}$   
 $\geq \text{method}$   
 $\geq \text{1976}$

(10.9)

$\geq \text{frictional}$   
 $\geq \text{sum height}$   
 $\geq \text{or safety}$   
 $\geq \text{by Bishop}$   
 $\geq \text{method}$   
 $\geq \text{1976}$

(10.10)

$\geq \text{frictional}$   
 $\geq \text{sum height}$   
 $\geq \text{or safety}$   
 $\geq \text{by Bishop}$   
 $\geq \text{method}$   
 $\geq \text{1976}$

(10.11)

$\geq \text{frictional}$   
 $\geq \text{sum height}$   
 $\geq \text{or safety}$   
 $\geq \text{by Bishop}$   
 $\geq \text{method}$   
 $\geq \text{1976}$

(10.12)

$\geq \text{frictional}$   
 $\geq \text{sum height}$   
 $\geq \text{or safety}$   
 $\geq \text{by Bishop}$   
 $\geq \text{method}$   
 $\geq \text{1976}$

(10.13)

$\geq \text{frictional}$   
 $\geq \text{sum height}$   
 $\geq \text{or safety}$   
 $\geq \text{by Bishop}$   
 $\geq \text{method}$   
 $\geq \text{1976}$

(10.14)

$\geq \text{frictional}$   
 $\geq \text{sum height}$   
 $\geq \text{or safety}$   
 $\geq \text{by Bishop}$   
 $\geq \text{method}$   
 $\geq \text{1976}$

(10.15)

$\geq \text{frictional}$   
 $\geq \text{sum height}$   
 $\geq \text{or safety}$   
 $\geq \text{by Bishop}$   
 $\geq \text{method}$   
 $\geq \text{1976}$

(10.16)

$\geq \text{frictional}$   
 $\geq \text{sum height}$   
 $\geq \text{or safety}$   
 $\geq \text{by Bishop}$   
 $\geq \text{method}$   
 $\geq \text{1976}$

(10.17)

$\geq \text{frictional}$   
 $\geq \text{sum height}$   
 $\geq \text{or safety}$   
 $\geq \text{by Bishop}$   
 $\geq \text{method}$   
 $\geq \text{1976}$

(10.18)

$\geq \text{frictional}$   
 $\geq \text{sum height}$   
 $\geq \text{or safety}$   
 $\geq \text{by Bishop}$   
 $\geq \text{method}$   
 $\geq \text{1976}$

(10.19)

$\geq \text{frictional}$   
 $\geq \text{sum height}$   
 $\geq \text{or safety}$   
 $\geq \text{by Bishop}$   
 $\geq \text{method}$   
 $\geq \text{1976}$

(10.20)

$\geq \text{frictional}$   
 $\geq \text{sum height}$   
 $\geq \text{or safety}$   
 $\geq \text{by Bishop}$   
 $\geq \text{method}$   
 $\geq \text{1976}$

(10.21)

$\geq \text{frictional}$   
 $\geq \text{sum height}$   
 $\geq \text{or safety}$   
 $\geq \text{by Bishop}$   
 $\geq \text{method}$   
 $\geq \text{1976}$

(10.22)

$\geq \text{frictional}$   
 $\geq \text{sum height}$   
 $\geq \text{or safety}$   
 $\geq \text{by Bishop}$   
 $\geq \text{method}$   
 $\geq \text{1976}$

(10.23)

$\geq \text{frictional}$   
 $\geq \text{sum height}$   
 $\geq \text{or safety}$   
 $\geq \text{by Bishop}$   
 $\geq \text{method}$   
 $\geq \text{1976}$

(10.24)

$\geq \text{frictional}$   
 $\geq \text{sum height}$   
 $\geq \text{or safety}$   
 $\geq \text{by Bishop}$   
 $\geq \text{method}$   
 $\geq \text{1976}$

(10.25)

$\geq \text{frictional}$   
 $\geq \text{sum height}$   
 $\geq \text{or safety}$   
 $\geq \text{by Bishop}$   
 $\geq \text{method}$   
 $\geq \text{1976}$

(10.26)

$\geq \text{frictional}$   
 $\geq \text{sum height}$   
 $\geq \text{or safety}$   
 $\geq \text{by Bishop}$   
 $\geq \text{method}$   
 $\geq \text{1976}$

(10.27)

$\geq \text{frictional}$   
 $\geq \text{sum height}$   
 $\geq \text{or safety}$   
 $\geq \text{by Bishop}$   
 $\geq \text{method}$   
 $\geq \text{1976}$

(10.28)

$\geq \text{frictional}$   
 $\geq \text{sum height}$   
 $\geq \text{or safety}$   
 $\geq \text{by Bishop}$   
 $\geq \text{method}$   
 $\geq \text{1976}$

(10.29)

$\geq \text{frictional}$   
 $\geq \text{sum height}$   
 $\geq \text{or safety}$   
 $\geq \text{by Bishop}$   
 $\geq \text{method}$   
 $\geq \text{1976}$

(10.30)

$\geq \text{frictional}$   
 $\geq \text{sum height}$   
 $\geq \text{or safety}$   
 $\geq \text{by Bishop}$   
 $\geq \text{method}$   
 $\geq \text{1976}$

(10.31)

$\geq \text{frictional}$   
 $\geq \text{sum height}$   
 $\geq \text{or safety}$   
 $\geq \text{by Bishop}$   
 $\geq \text{method}$   
 $\geq \text{1976}$

(10.32)

$\geq \text{frictional}$   
 $\geq \text{sum height}$   
 $\geq \text{or safety}$   
 $\geq \text{by Bishop}$   
 $\geq \text{method}$   
 $\geq \text{1976}$

(10.33)

$\geq \text{frictional}$   
 $\geq \text{sum height}$   
 $\geq \text{or safety}$   
 $\geq \text{by Bishop}$   
 $\geq \text{method}$   
 $\geq \text{1976}$

(10.34)

$\geq \text{frictional}$   
 $\geq \text{sum height}$   
 $\geq \text{or safety}$   
 $\geq \text{by Bishop}$   
 $\geq \text{method}$   
 $\geq \text{1976}$

(10.35)

$\geq \text{frictional}$   
 $\geq \text{sum height}$   
 $\geq \text{or safety}$   
 $\geq \text{by Bishop}$   
 $\geq \text{method}$   
 $\geq \text{1976}$

(10.36)

$\geq \text{frictional}$   
 $\geq \text{sum height}$   
 $\geq \text{or safety}$   
 $\geq \text{by Bishop}$   
 $\geq \text{method}$   
 $\geq \text{1976}$

(10.37)

$\geq \text{frictional}$   
 $\geq \text{sum height}$   
 $\geq \text{or safety}$   
 $\geq \text{by Bishop}$   
 $\geq \text{method}$   
 $\geq \text{1976}$

(10.38)

$\geq \text{frictional}$   
 $\geq \text{sum height}$   
 $\geq \text{or safety}$   
 $\geq \text{by Bishop}$   
 $\geq \text{method}$   
 $\geq \text{1976}$

(10.39)

$\geq \text{frictional}$   
 $\geq \text{sum height}$   
 $\geq \text{or safety}$   
 $\geq \text{by Bishop}$   
 $\geq \text{method}$   
 $\geq \text{1976}$

(10.40)

$\geq \text{frictional}$   
 $\geq \text{sum height}$   
 $\geq \text{or safety}$   
 $\geq \text{by Bishop}$   
 $\geq \text{method}$   
 $\geq \text{1976}$

(10.41)

$\geq \text{frictional}$   
 $\geq \text{sum height}$   
 $\geq \text{or safety}$   
 $\geq \text{by Bishop}$   
 $\geq \text{method}$   
 $\geq \text{1976}$

(10.42)

$\geq \text{frictional}$   
 $\geq \text{sum height}$   
 $\geq \text{or safety}$   
 $\geq \text{by Bishop}$   
 $\geq \text{method}$   
 $\geq \text{1976}$

(10.43)

$\geq \text{frictional}$   
 $\geq \text{sum height}$   
 $\geq \text{or safety}$   
 $\geq \text{by Bishop}$   
 $\geq \text{method}$   
 $\geq \text{1976}$

(10.44)

$\geq \text{frictional}$   
 $\geq \text{sum height}$   
 $\geq \text{or safety}$   
 $\geq \text{by Bishop}$   
 $\geq \text{method}$   
 $\geq \text{1976}$

(10.45)

$\geq \text{frictional}$   
 $\geq \text{sum height}$   
 $\geq \text{or safety}$   
 $\geq \text{by Bishop}$   
 $\geq \text{method}$   
 $\geq \text{1976}$

(10.46)

$\geq \text{frictional}$   
 $\geq \text{sum height}$   
 $\geq \text{or safety}$   
 $\geq \text{by Bishop}$   
 $\geq \text{method}$   
 $\geq \text{1976}$

(10.47)

$\geq \text{frictional}$   
 $\geq \text{sum height}$   
 $\geq \text{or safety}$   
 $\geq \text{by Bishop}$   
 $\geq \text{method}$   
 $\geq \text{1976}$

(10.48)

$\geq \text{frictional}$   
 $\geq \text{sum height}$   
 $\geq \text{or safety}$   
 $\geq \text{by Bishop}$   
 $\geq \text{method}$   
 $\geq \text{1976}$

(10.49)

$\geq \text{frictional}$   
 $\geq \text{sum height}$   
 $\geq \text{or safety}$   
 $\geq \text{by Bishop}$   
 $\geq \text{method}$   
 $\geq \text{1976}$

(10.50)

$\geq \text{frictional}$   
 $\geq \text{sum height}$   
 $\geq \text{or safety}$   
 $\geq \text{by Bishop}$   
 $\geq \text{method}$   
 $\geq \text{1976}$

(10.51)

$\geq \text{frictional}$   
 $\geq \text{sum height}$   
 $\geq \text{or safety}$   
 $\geq \text{by Bishop}$   
 $\geq \text{method}$   
 $\geq \text{1976}$

(10.52)

$\geq \text{frictional}$   
 $\geq \text{sum height}$   
 $\geq \text{or safety}$   
 $\geq \text{by Bishop}$   
 $\geq \text{method}$   
 $\geq \text{1976}$

(10.53)

$\geq \text{frictional}$   
 $\geq \text{sum height}$   
 $\geq \text{or safety}$   
 $\geq \text{by Bishop}$   
 $\geq \text{method}$   
 $\geq \text{1976}$

(10.54)

$\geq \text{frictional}$   
 $\geq \text{sum height}$   
 $\geq \text{or safety}$   
 $\geq \text{by Bishop}$   
 $\geq \text{method}$   
 $\geq \text{1976}$

(10.55)

$\geq \text{frictional}$   
 $\geq \text{sum height}$   
 $\geq \text{or safety}$   
 $\geq \text{by Bishop}$   
 $\geq \text{method}$   
 $\geq \text{1976}$

(10.56)

$\geq \text{frictional}$   
 $\geq \text{sum height}$   
 $\geq \text{or safety}$   
 $\geq \text{by Bishop}$   
 $\geq \text{method}$   
 $\geq \text{1976}$

(10.57)

$\geq \text{frictional}$   
 $\geq \text{sum height}$   
 $\geq \text{or safety}$   
 $\geq \text{by Bishop}$   
 $\geq \text{method}$   
 $\geq \text{1976}$

(10.58)

$\geq \text{frictional}$   
 $\geq \text{sum height}$   
 $\geq \text{or safety}$   
 $\geq \text{by Bishop}$   
 $\geq \text{method}$   
 $\geq \text{1976}$

(10.59)

$\geq \text{frictional}$   
 $\geq \text{sum height}$   
 $\geq \text{or safety}$   
 $\geq \text{by Bishop}$   
 $\geq \text{method}$   
 $\geq \text{1976}$

(10.60)

$\geq \text{frictional}$   
 $\geq \text{sum height}$   
 $\geq \text{or safety}$   
 $\geq \text{by$

## THE CLAY



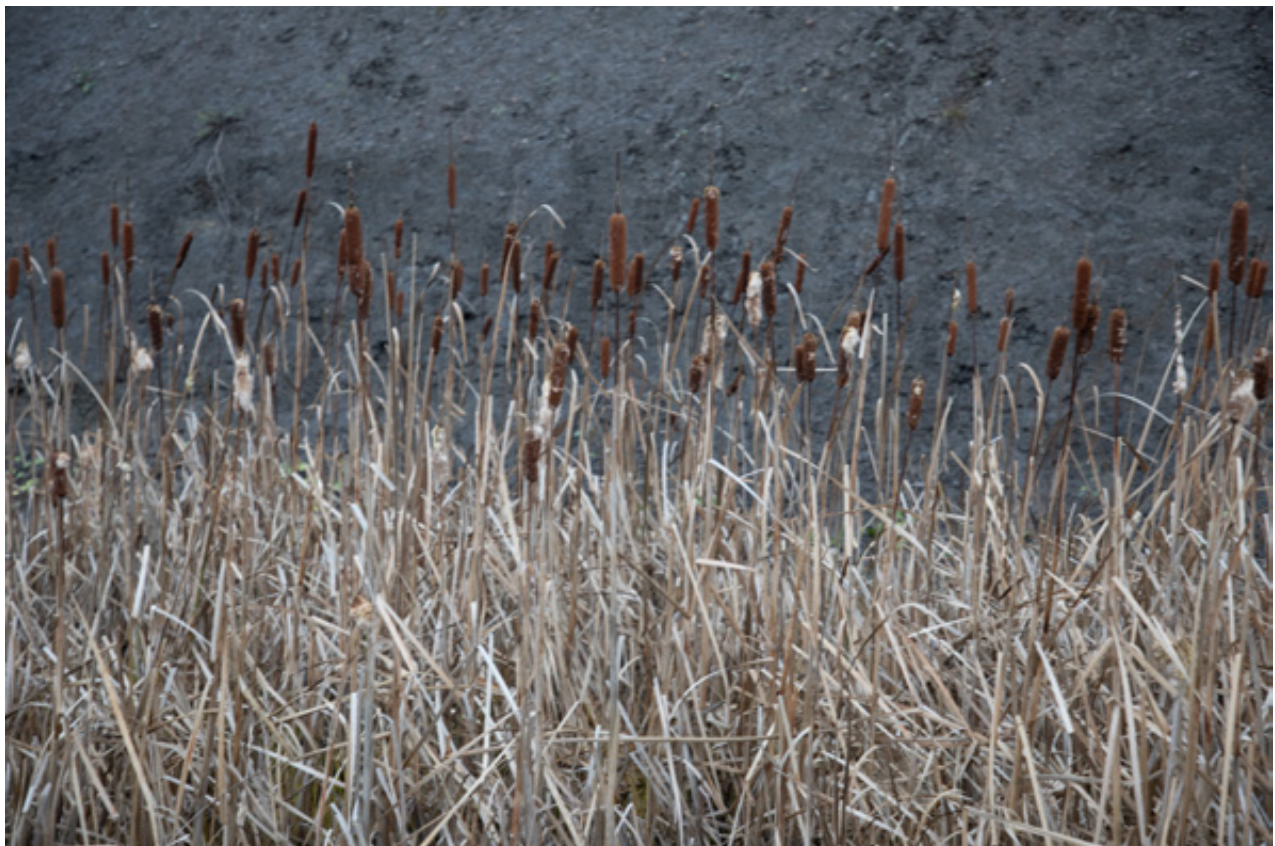
**Fig. 15.** Fricktal, Switzerland  
Plants growing in a Clay Pit

## THE CLAY



**Fig. 16.** Fricktal, Switzerland  
Pond, formed in a Clay Pit

## THE CLAY



**Fig. 17.** Fricktal, Switzerland  
Reeds growing in a Clay Pit

## THE CLAY



**Fig. 18.** Kazakhstan  
The Polgon Nuclear Test Site IV

## THE CLAY



**Fig. 19.** Wauwiler Moos, Switzerland  
Aerial

## 5.2 Ausbruchmaterial

Insgesamt ist von einem Ausbruchvolumen in der Grössenordnung von 1 Million m<sup>3</sup> auszugehen, das im Beilagenband für die Standortregionen spezifiziert ist. Dies liegt in der Grössenordnung von vergleichbaren mittelgrossen Bauprojekten in der Schweiz (z. B. Durchmesserlinie inmitten der Stadt Zürich mit ca. 1.0 Millionen m<sup>3</sup>).

Die anfallenden Ausbruchmaterialien sollen nach Möglichkeit beim Bau und evtl. bei der späteren Verfüllung des Tiefenlagers als Eigenbedarf verwertet werden. Andernfalls müssen sie extern verwertet oder in einer Deponie dauerhaft gelagert werden.

Die Wiederverwertungsmöglichkeiten hängen sowohl von der spezifischen geologischen Situation am Standort als auch dem industriellen Bedarf und den wirtschaftlichen Rahmenbedingungen ab. Ausbruchmaterial wird bereits nach dem Anfall im Vortriebsbereich auf die gewünschte Maximalgrösse zerkleinert. Das vorgebrochene Ausbruchmaterial wird mittels Förderbändern, Schutterbahn oder Pneufahrzeugen aus dem Tunnel oder mittels Abteufkübel aus dem Schacht in eine Verladeanlage gefördert und dort vor dem Weitertransport zwischengelagert (temporäre Zwischendeponie).

In der Regel wird sich der Verwertungsort oder die Deponie nicht im Nahbereich der Baustellen befinden, so dass das Ausbruchmaterial von der Zwischendeponie auf der Baustelle weitertransportiert werden muss.

Der Transport erfolgt nach Möglichkeit per Schiene. Von der Verladeanlage auf der Baustelle aus werden dazu die Aushubzüge beschickt. Ein Aushubzug besteht typischerweise aus 10 bis 20 Kippwagen (Blockzuglänge ca. 150 bis 280 m) und fasst zwischen 500 und 1'000 t Ausbruchmaterial. Bei den Abnahmeorten wird das Ausbruchmaterial mittels geeigneter Entlastestation wiederum auf Förderbänder oder Fahrzeuge umgeladen und zum vorgesehenen Verwendungsort (Verwertungsort oder Deponie) transportiert. In den Hauptbauphasen werden ca. 5 bis 10 Aushubzüge pro Woche die Baustelle verlassen.

**Fig. 20.**

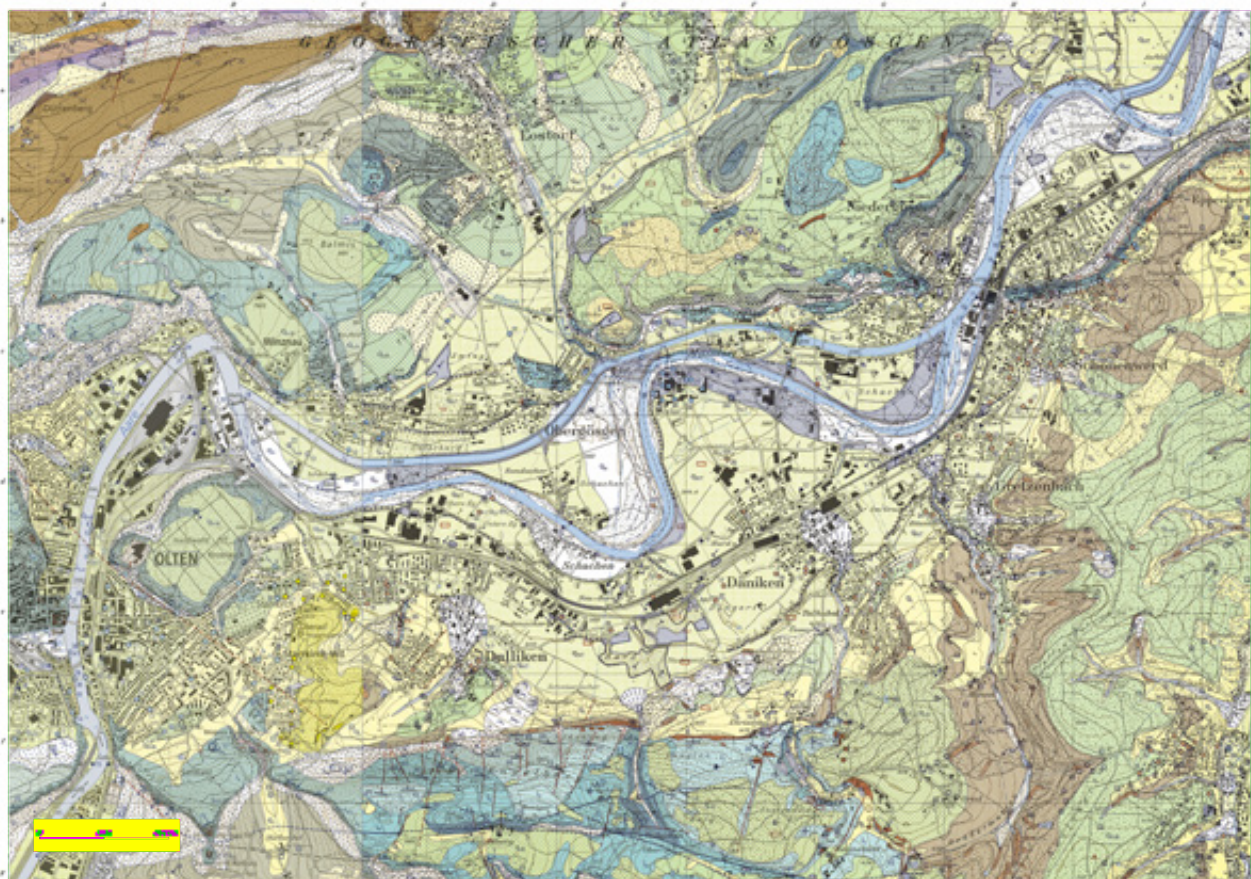
Nagra Report on the Reuse of Opaline Clay

THE CLAY



**Fig. 21.** *Leioceras Opainum*  
Fossil found in Opaline Clay

## THE CLAY



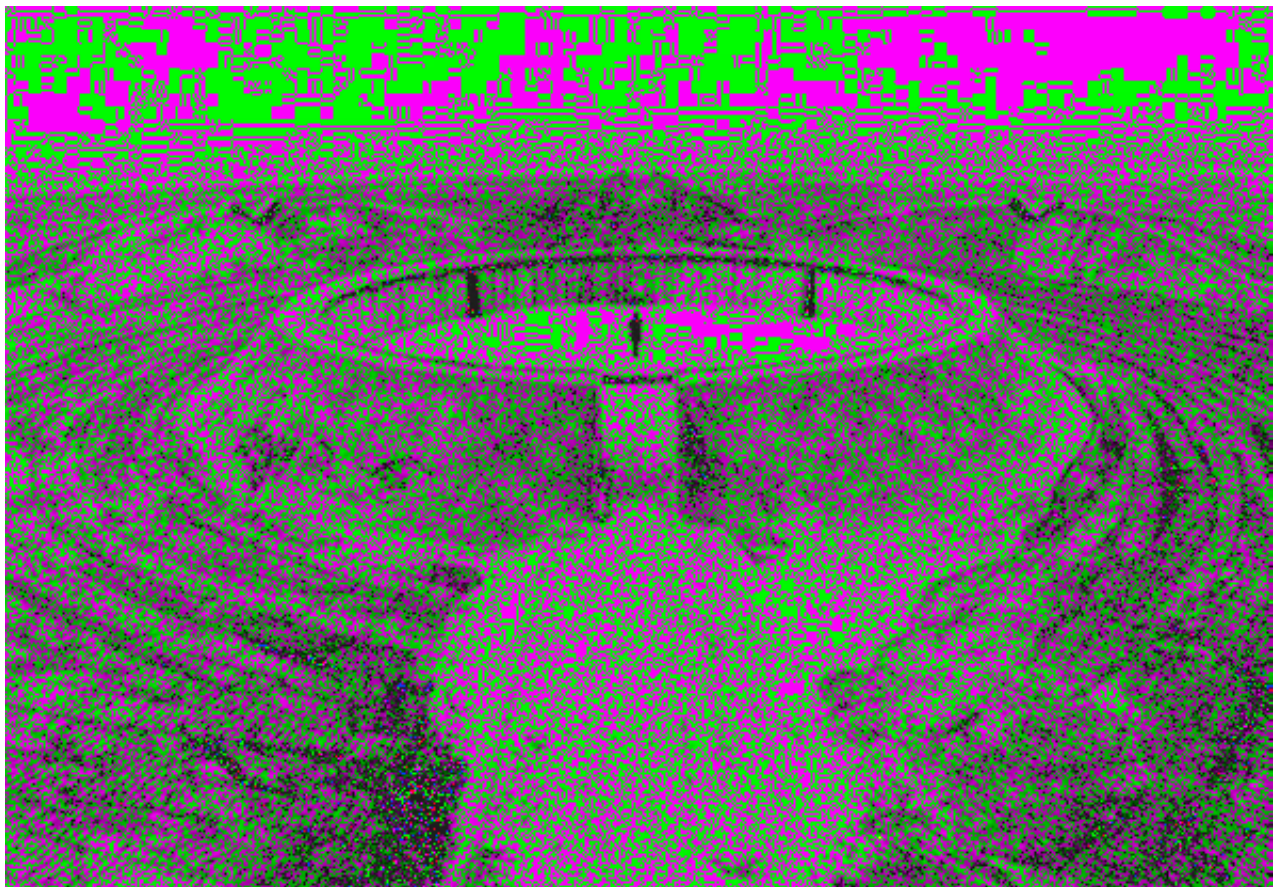
**Fig. 22.** SwissTopo  
Geogological Map of Gösgen

## THE CLAY



**Fig. 23.** Munich, Germany, 1969  
Walter de Maria  
Munich Depression

## THE CLAY



**Fig. 24.** Lelystad 1977, Netherlands  
Robert Morris  
Observatory

PART TWO

---

## **BUFOMANIA**

# BUFOMANIA

## RIEDBRUNNMATT DÄNIKEN

### Gelbbauchunken sind gefährdet: Regelmässig werden Gräben ausgehoben

Für die stark gefährdeten Gelbbauchunken werden in der Däniker Riedbrunnmatt regelmässig kleine Gräben ausgehoben. So entstehen temporäre, sporadisch austrocknende Tümpel. Das Gebiet ist neu im Bundesinventar zu finden.

**Lena Bueche**

08.04.2018, 09.00 Uhr



Mit dem Bagger werden regelmässig Tümpel ausgehoben, die der Gelbbauchunke als Laichgewässer dienen.

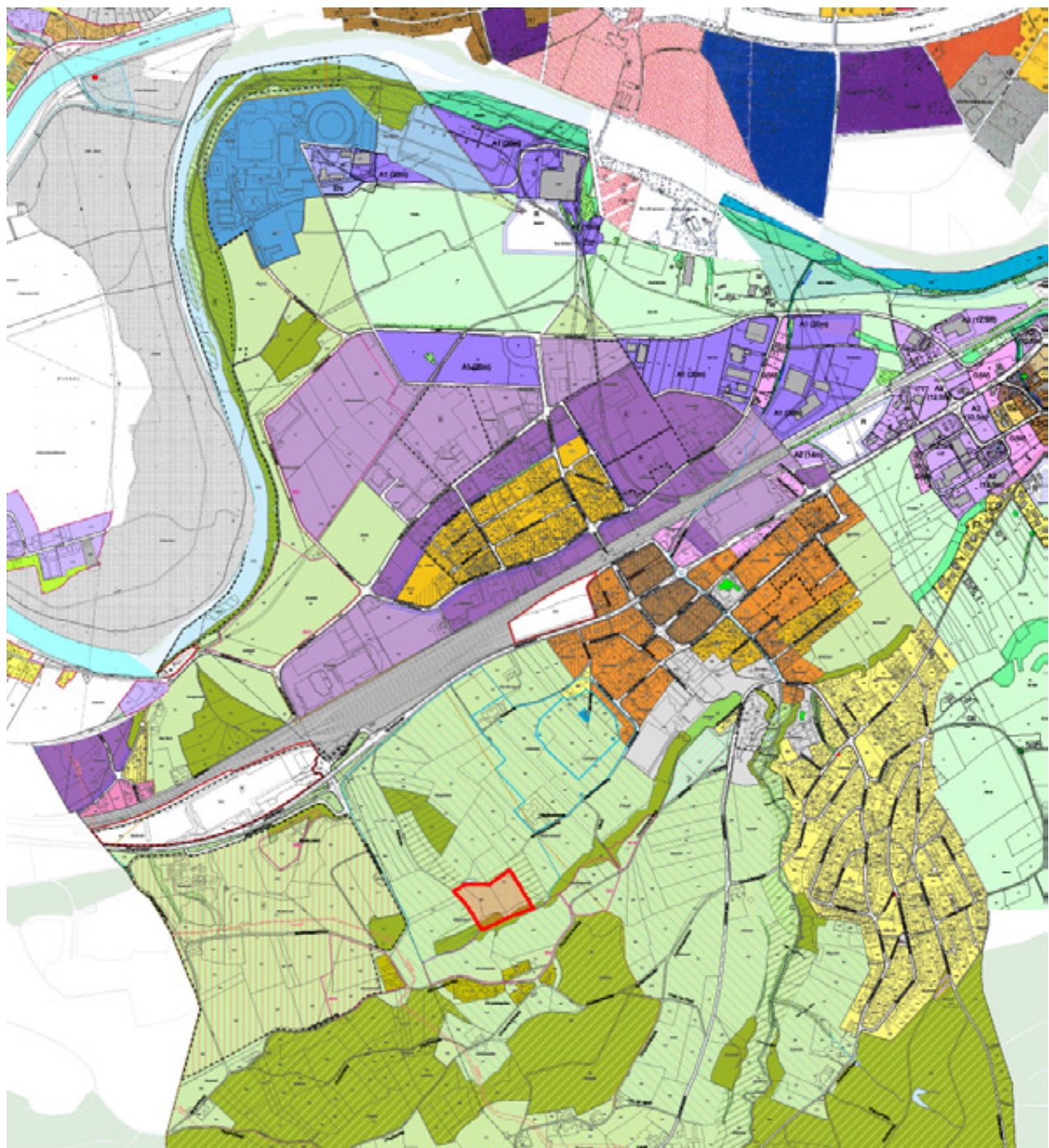
bko/bar

Manche Naturschätze liegen nur wenige Schritte von der eigenen Haustüre entfernt, und doch kennt man sie kaum. Die mitten im Landwirtschaftsland gelegene, stark vernässte Wiese in der Däniker

**Fig. 25.** Solothurner Zeitung  
Yellow bellied Toad in Riedbrunnmatt



**Fig. 26.** Riedbrunnmatt, Switzerland, 2021  
Field excavated by local Farmer  
for the Toads



**Fig. 27.** Zoning Plan, Däniken 2020  
Marked Area of the protected Toad Reserve

# BUFOMANIA



University of Zurich  
Zurich Open Repository and Archive

Winterthurerstr. 190  
CH-8057 Zurich  
<http://www.zora.uzh.ch>

Year: 2007

## Umsiedlung einer Amphibienpopulation in der Schweiz

Schmidt, B R

112

iz

er Schweiz

phibienlaich-  
die Kriterien  
Umsiedlung

### ISPIELE

ndengruben  
arauf geach-  
Laichschnü-  
generischer  
t auch ande-  
i neuen Ort

lation wurde  
enschäfliche  
und rufende  
sind. Wenn  
ich auch die  
nur je etwa  
dänchen da  
n (und eine  
e Population  
. Diese „Be-  
nigt dem vor-  
besseren de-  
tion viability

ten? Studien  
Kreuzkröten  
lichenbedarf  
rötenpopula-



n der Rhein-  
findengrube,  
n Grundwas-  
ausgearbeitet  
ähle und für  
› befindliche  
bisher keine  
esgrube wer-

gute Voraus-  
ngrube. Da  
Lebensraum  
re Gewässer  
spärlich be-  
s- und Win-  
tbau weiter  
schaffen. Da  
lich angren-  
ig der Strasse  
hobien nicht  
Strasse unter-  
i kann.

Schmidt, B R. Umsiedlung einer Amphibienpopulation in der Schweiz. In: Amphibien brauchen unsere Hilfe, Chemnitz, Weltverband der Zoos und Aquarien (WAZA), 27 June 2007 - 30 June 2007, 112-113.  
Postprint available at:  
<http://www.zora.uzh.ch>

Posted at the Zurich Open Repository and Archive, University of Zurich.  
<http://www.zora.uzh.ch>

Originally published at:  
Amphibien brauchen unsere Hilfe, Chemnitz, Weltverband der Zoos und Aquarien (WAZA), 27 June 2007 - 30 June 2007, 112-113.

rauchen unsere Hilfe,  
112-113.

Postprint available at:  
<http://www.zora.uzh.ch>

Posted at the Zurich Open Repository and Archive, University of Zurich.  
<http://www.zora.uzh.ch>

Originally published at:  
Amphibien brauchen unsere Hilfe, Chemnitz, Weltverband der Zoos und Aquarien (WAZA), 27 June 2007 - 30 June 2007, 112-113.



Amphibienkurs



Amphibienkurs

**Fig. 28.**  
University of Zurich, Switzerland 2007  
Methods on how to relocate amphibians

## BUFOMANIA



**Fig. 29.** Yellow Bellied Toad Swimming

## BUFOMANIA



**Fig. 30.** *Bombina variegata*  
Scientific Drawing of the yellow bellied Toad





Bild 6.1. Ton- oder Lehmzeiger. Links: Huflattich, rechts: Klatschmohn

**Fig. 32.** Bioindicators for Clay



# BUFOMANIA



## Grösstes Reservat von BirdLife Aargau Naturschutzgebiet Eriwis

**Das Reservat Eriwis liegt in einem Seitental der Aare bei Schenkonach Dorf. Der Milan hat schon verschiedentlich darüber berichtet. Dieser Artikel gibt nun einige fundierte Überblick über Geschichte, Lebensräume und Art, z. B. auch Bewohner des mit 12,7 ha vergrösserten Reservats uns verschwunden.**

Das Eriwis umfasst eine aufgegebene Dolomiterogebiete. Landwirtschaftland mit einem Obstgarten und einen noch recht ursprünglichen Juratalbuschwald. Dieser stand auf einem nach Norden geneigten Hang und wurde von den Römern abgeholzt und auf Schuttflächen hat sich eine trocken, sonnenexponierte Flanerie mit einer eigenen Weißkirsche zum Balzraum. Magerweisen bis zu Jungwald und zum Teil geprägten Hecken lebten hier nach Standort, Bodenbeschaffenheit, Wasserführung, Exposition und Mikroklima präsentierte sich ganz verschiedene Pflanzengesellschaften, die in unterschiedlichen Saisontypen, die in den trocken, sonnenexponierten Hängen oder einer Ruliflora eingestellt.

### Vom Tonabbau zum Naturjuwel

Von 1932 bis 1958 baute die Zürcher Ziegelei, die sich heute Z2 Wancor nennen, in der Eriwis Opalinplatten ab und produzierten daraus in ihren Werken, zuerst in Zürich, später in Tuggen, Backsteine und Dachziegel. Das Abbaumaterial transportierten sie

mit einer eigenen Werkbahn zum Bahnhof Schenkonach Dorf, wo dann in Güterwagen der SBB gelagert wurde. Im Jahre 2000 musste das Werk Tuggen aus wirtschaftlichen Gründen geschlossen werden. Die Grube Eriwis braucht es seither nicht mehr, obwohl dort noch ein ungünstiges 1000 m<sup>3</sup> Quollsteinmaterial am Zwischendepot liegt. Im Jahre 2006 entdeckte der Landschaftsarchitekt Vicki Condrau zusammen mit seinem Bruder Christian zusammen mit seinem Büromeister Elisabeth Dürrer die Grube. Sie gründeten in der Folge den Verein Naturverkast Eriwis mit dem Ziel, das reichhaltige Bootsopt zu erhalten und zur Umweltbildung einzutragen. Zwei Jahre später gelang es ihnen, eine möglichst lange Pachtvertrag mit dem Besitzer abzuschliessen. Im Jahre 2016 kam es noch besser: Der Verein Naturverkast konnte das gesamte 13,5 ha grosse Areal zusammen mit Birdlife Aargau kauflich erwerben. An den Kosten beteiligte sich die öffentliche Hand (und

und Kanton) mit rund 65 %. Der Verein Naturverkast als Mitglieed im Vater oder Kind ist Birdlife Aargau mit 39 % halten die 35 % des Kaufpreises aus eigenen Mitteln zu bezahlen. 0,8 ha Landwirtschaftsland musste auf Verlangen des Kantons an einen Landwirt aus Schinznach weiterverkauft werden.

### Verschiedene Spechte, Zaur- und Goldammer

Insgesamt fünfzehn Mal wurde ich das Reservat in den Jahren 2016 und 2017 besucht, meistens in der Folge den Verein Naturverkast Eriwis mit dem Ziel, das reichhaltige Bootsopt zu erhalten und zur Umweltbildung einzutragen. Zwei Jahre später gelang es ihnen, eine möglichst lange Pachtvertrag mit dem Besitzer abzuschliessen. Im Jahre 2016 kam es noch besser: Der Verein Naturverkast konnte das gesamte 13,5 ha grosse Areal zusammen mit Birdlife Aargau kauflich erwerben. An den Kosten beteiligte sich die öffentliche Hand (und

Lebensjahr von singenden adulten Artgenossen sind, die im Aargau selten gefunden sind. Die rosa Blüten des Erdbeer-Krautes, einheimisch, eindrücklich an eine noch nicht reife Erdbeere. Die ebenfalls rosa blühenden Tauseng-Güldenkrauter sind ebenfalls einheimisch. Ihr deutscher und ihr wissenländischer (Gymnospermum) Gattunname verwiesen auf die griechische Mythologie: Der verwundete Kentaur (Pferdemensch) Chiron oder Cheiron, ein berühmter Meistersmann, soll dieses Kraut gehandhabt haben. „Giertausend“, das man dann lächlich mit Hundertguldenkraut (lat. centum = hundert und aeneus = golden) übersetzte. Da raus kam der Name Tauseng-Güldenkraut. Ein Hundert für die bedeutende Heilpflanze zu wenig erschien. In Thüringen heisst es deswegen sogar Milionstausend-Güldenkraut. Die urale, verbliebene Bitterstoffreihe enthaltende Heilpflanze wird gelegentlich noch bei Appetitlosigkeit und Verdauungsstörungen eingesetzt.

**Echtes und Kleines Tauseng-Güldenkraut, Wasserföder, Erdbeer-Klee, Bienen-Kraut**



Milan 1..2018 15

Naturschutzgebiet Eriwis.



14 Milan 1..2018



und im Folgejahr konnten wir kein einzelnes Individuum mehr finden. Dies ist allerdings bei einer Orchideenart, die sich selbst bestäubt, nicht ungewöhnlich. Die drei anderen Arten der drei meistens dominierenden Blütenfarbe ist gelb. Dementsprechend ermittelten wir neben der Gelben Schwertlilie sieben versch. farbige Habichtskräuter, fünf verschiedene Arten von Primeln, die Jährlingskraut und je zwei Becken-, Gilb- und Glibberdarten. Blau blühen die Rapunzel-Glockenblumen, der Gemeine Natterkopf, das Dunkelgrünblättrige Knabenkraut und sieben verschiedene Energiepflanzen. Eine weitere der Blütenfarben Rot sind je zwei Mohren- und Weidenrosen zu nennen. Besonders Erwähnung verdienen zudem der Türkurbund, der Europäische Wolfsmilch und fünf Wolfsmilcharten.

**Gelbbauchunkne und Beilfeck-Widderchen**  
Die wenigen Tierearten suchten und erfassen wir nicht systematisch. Wir schrieben einfach auf, was uns gerade über den Weg kroch oder flog. Namentlich erwähnen möchte ich die Gelbbauchunkne, die in grosser Zahl in der vielen Karmesin- und anderen Pflanzenwelt unterwegs waren, ebenso wie die Plüttelosen die grosse Blaue Holzbiene, das seltene Beilfeck-Widderchen und den auffallend schönen Roten Schneckenfallen.

Die vollständige Liste der Pflanzen und

Vögel und die Liste der übrigen Tierarten steht ich Interessenten jederzeit gerne zur Verfügung.

Herr Dr. Thomas Frey und Frau Dr. Barbara Schmid und Herr Dr. André Müller von der Entomologischen Sammlung der ETH Zürich in der Eriwis gut 100 Wildbienenarten, wovon 28 Arten an der Nordschweiz selten oder gefährdet sind und zwei neue. Eine Art, Novitiae, ist neu in der Region, die Jahrhunderte lang nicht gesehen wurde und konnte zum ersten Mal seit über 40 Jahren in der Schweiz wieder nachgewiesen werden.

### Vielf Handarbeit nötig

Über die Pflege des Reservates wacht eine grifflöpfige Pflegekommission, zusammengesetzt an der Geschäftsführung und einem Vorstandsmittelglied von Birdlife Aargau und dem Verein Naturverkast Eriwis und einem Kantonswerteuer der Sektor Natur und Landschaft. Ein Teilzeitgestalter der Naturverkast und bis zu fünf freiwillige Helfer sind für die eigentliche Handarbeit durch einen und wieder leicht auch Lehrfahrt und/oder Angestellte von Firmen Freiwilligerarbeit. Da Torboden nährstoffreich und somit sehr produktiv ist, müssen regelmäßig aufgehobene Bäume und andere Pflanzenarten, insbesondere Brombeeren, Goldlatten und Schiff, entfernt werden, um einer generellen Verbuschung und Verwildering vorzubeugen. Das verbleibende Landwirtschaftsland und insbesondere auch der Obstgarten sind zur Nutzung und Pflege an lokale Landwirte

verpachtet. Vermietet an einen Liebhaber ist auch die Feldgrobubenbank.

Da in einer Grube immer eine gewisse Rutschgefahr besteht, verhindert eine ständige Überwachung durch ein spezialisiertes Unternehmen. An der tiefsten Stelle der Grube sammelt sich das Wasser in einem ansonsten Weihers. Mit einer Pumpenstation dieses obere Zeit zu Zeit zum Grubewand hinunter bewegt werden. Nun ist geplant, die Grubewand im Süden zu durchbohren und dem Wasser so zu einem natürlichen Abfluss zu verhelfen. Diese Pumpen müsste dann nur noch im Notfall, bei einem Auffüllung des Auffangrohrs, benötigt werden.

Wir hoffen, dass danach der Umrötzung des Reservates Eriwis von der Materialabfuhr keine negativen Auswirkungen auf die Natur- und Landschaftssituationen von kantonaler Bedeutung im Reichtum nichts mehr im Wege steht.

Adolf Fäss

Gelbbauchunkne bei der Paarung.

Foto: Thomas Frey



Wie jedes Jahr um diese Zeit stellt der pensionierte Arzt Adolf Fäss einen der insgesamt 30 Reservate von Birdlife Aargau bereit.

mit Hans Althaus und Martin Bölliger verbrachte er zahlreiche Stunden seine Freizeit für alle Vögel- und Pflanzenarten des Reservates interessante Birdlife Aargau dankt ihm drehen für diesen grossen Einsatz ganz herzlich.

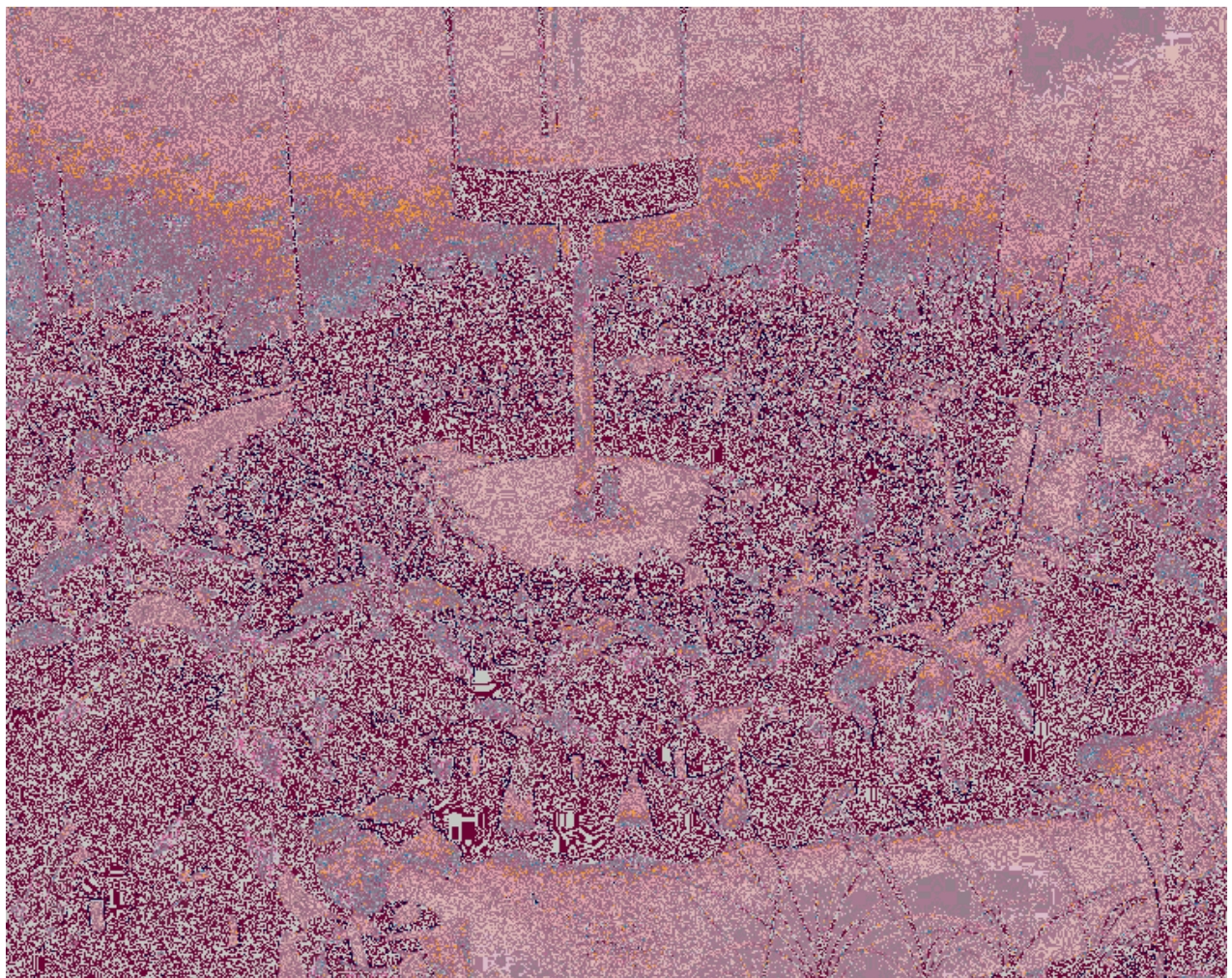
16 Milan 1..2018

Foto: Thomas Frey

JK

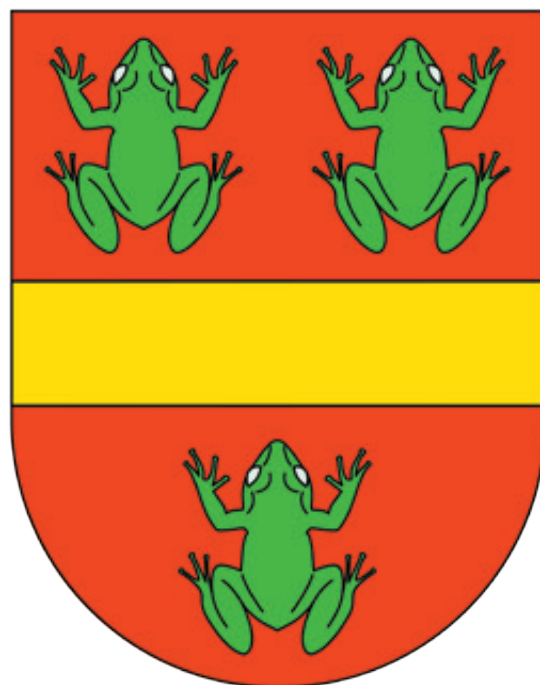
**Fig. 34**  
**Report on the Nature Reserve of Eriwis**  
**Milan 2018**

## BUFOMANIA



**Fig. 35.** Atomic Gardening  
1955, Atoms for Peace Initiative USA

## BUFOMANIA



**Fig. 36.** The Devil's official Coat of Arms

## BUFOMANIA



**Fig. 37.** Oxfordian Jurassic, United Kingdom  
Example of Bufonite, also known as Toadstones

PART THREE

---

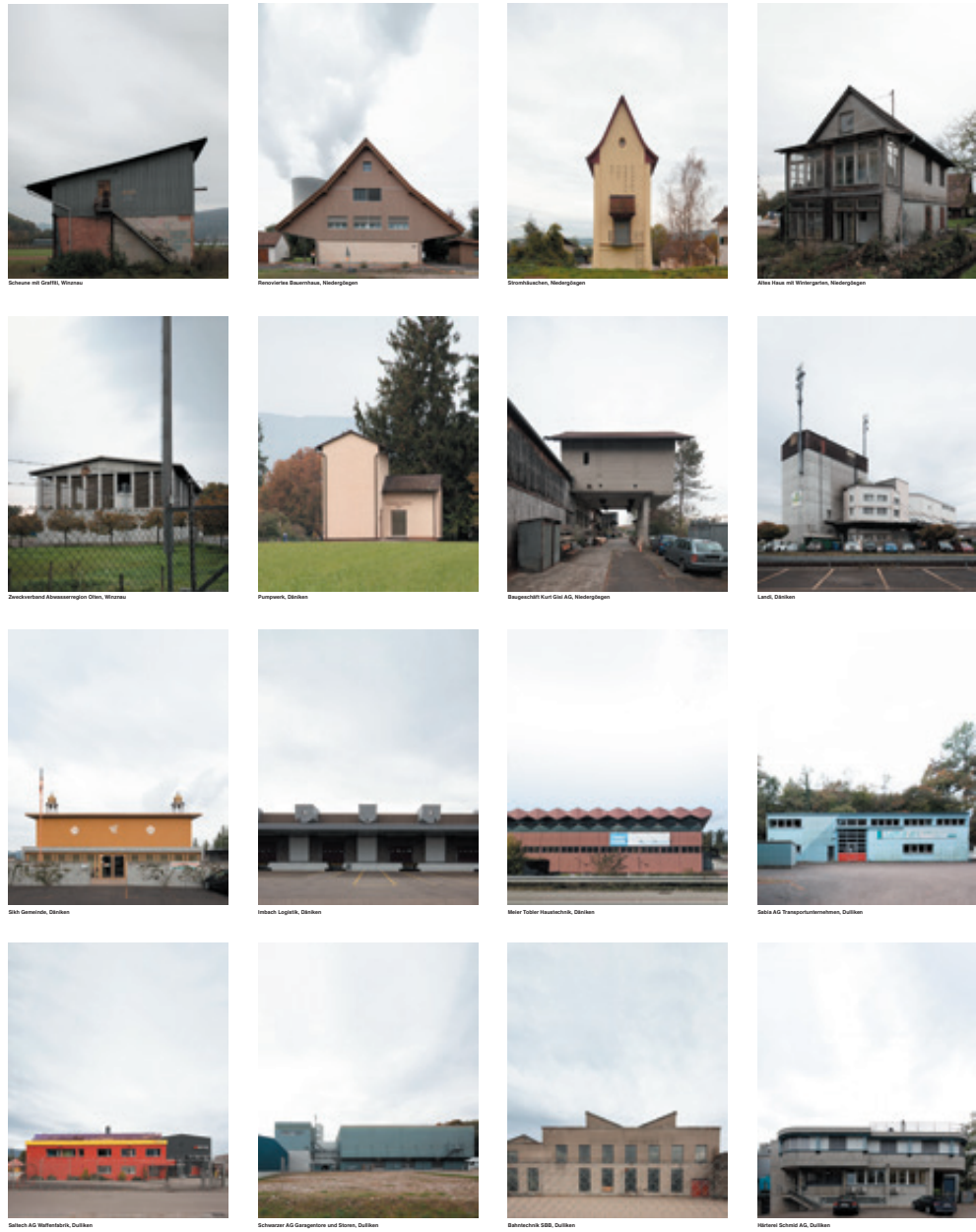
## NEIGHBOURHOOD

## NEIGHBOURHOOD



**Fig. 38.** Gösgen, Däniken  
Gravel Pit

## NEIGHBOURHOOD



**Fig. 39.** Däniken, Switzerland, 2021  
Surrounding industrial and  
vernacular Architecture

## NEIGHBOURHOOD



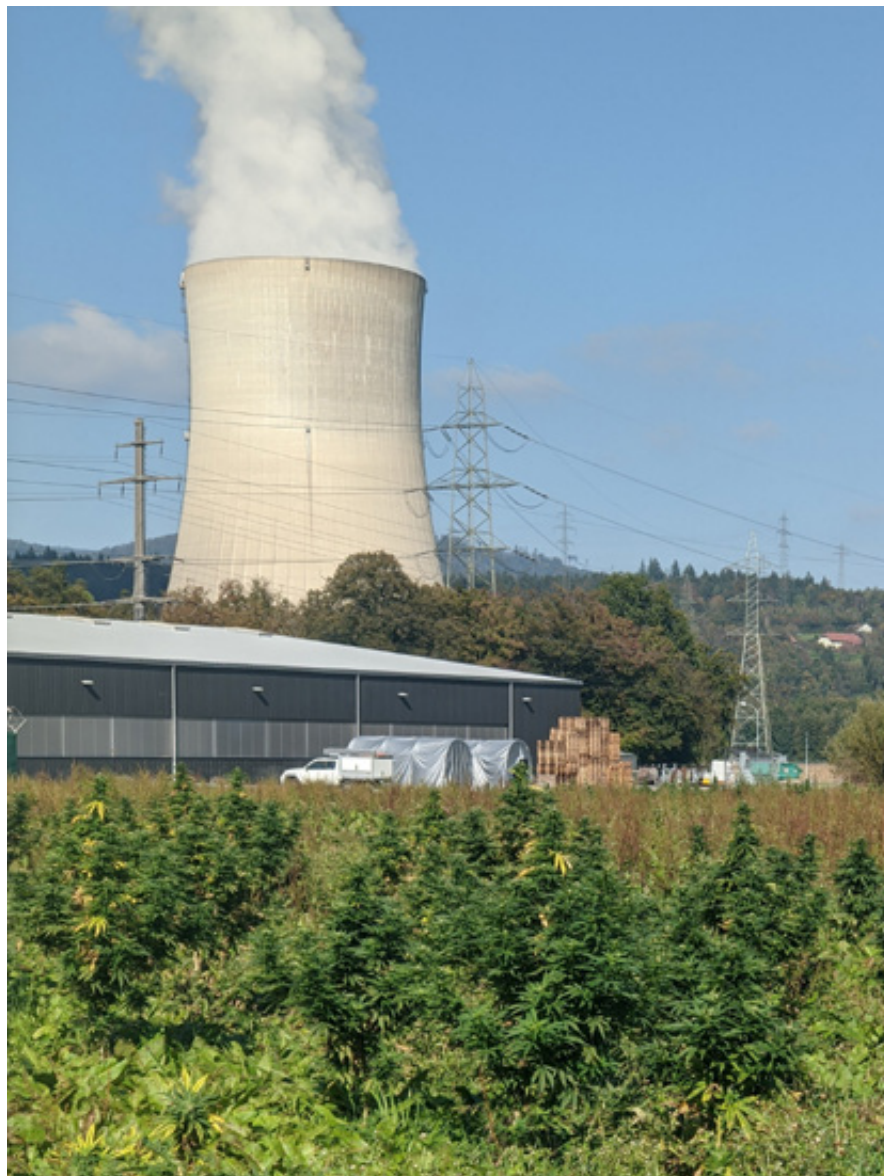
**Fig. 40.** Däniken, Switzerland, 2019  
Roundabout with City Icon

## NEIGHBOURHOOD



**Fig. 41.** Saltech AG, Däniken, Schweiz, 2021  
Local Weapons Factory

## NEIGHBOURHOOD



**Fig. 42.**  
Saltech AG, Däniken, Schweiz, 2021  
CBD Cannabis Plantation

## NEIGHBOURHOOD

Beantragt wird die Veräusserung der nachfolgend aufgeführten Parzellen an die Firma Saltech AG:

<b>GB-Nr.</b>	<b>Fläche in m<sup>2</sup></b>	<b>Besitzer</b>	<b>Übertragbares Kaufrecht z.G. EWG</b>
79	3'940	Valimo Verw. AG und Meier Susanna	Ja
81	3'102	EWG Däniken	--
86	5'840	EWG Däniken	--
105	3'151	Taufer Heinz	Ja
186	5'560	Kilchmann Josef und Schenker Dora	Ja
250	2'393	Hagmann Albin	Ja
<b>Total Fläche</b>	<b>23'986</b>		

Der Gemeinderat hat sich eingehend mit dem Kaufgesuch befasst und zu Handen des Souveräns beschlossen, die obigen Parzellen an die Saltech AG Dulliken zum Betrag von 130 Franken/Quadratmeter zu veräussern. Zuzüglich ist der in den übertragbaren Kaufrechtsverträgen (GB Däniken 79, 105, 186 und 250) vereinbarte Zins von 3 % durch den Käufer (Saltech AG Dulliken) zu leisten.

**Fig. 43.**  
Documentation of Land Sale Däniken  
2018

## NEIGHBOURHOOD

267

über dem Wasser gelegene „Landzunge“ mußte gegen die Landseite hin völlig sicher gestellt werden durch Wälle und Gräben.

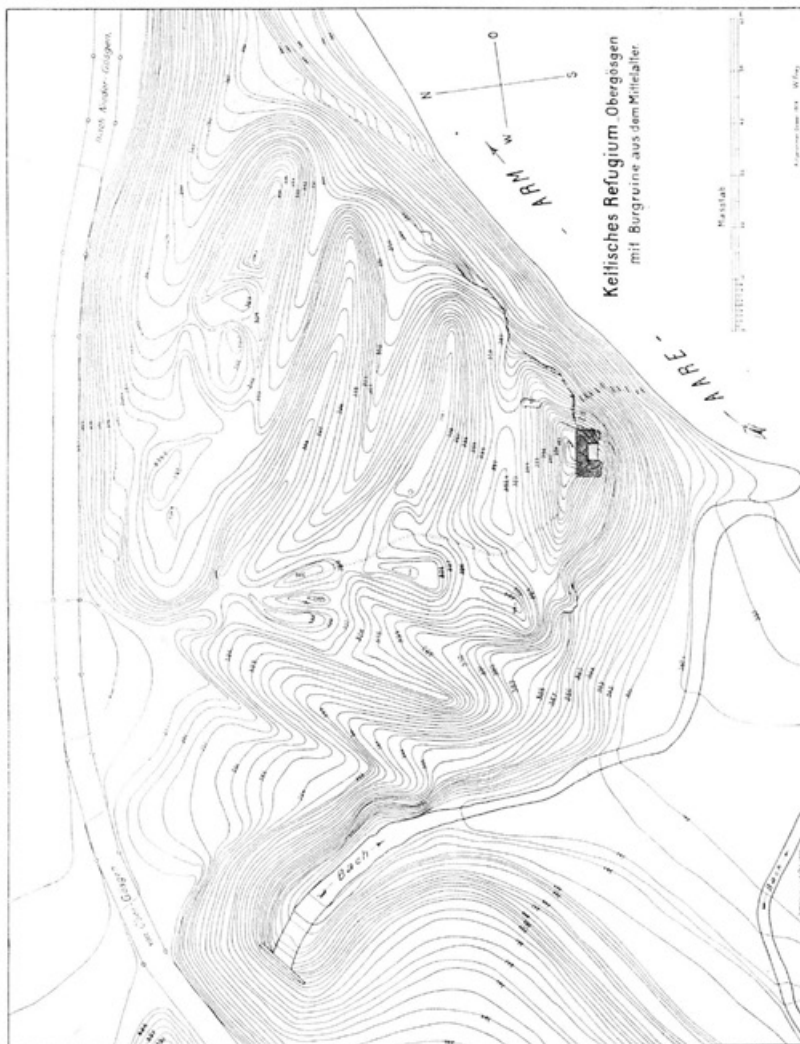


Abb. 1.

Das Topographische der Umgebung ist hier von ziemlicher Wichtigkeit. Vorab ist festzustellen, dass diese Befestigung direkt an der *Aare* lag, bis zu deren Korrektion (um 1870.) Dieselbe hat einen Teil der Ostflanke völlig

**Fig. 44.**  
Iron Age Castle Ruins of Obergösgen  
ETH , 1910

PART FOUR

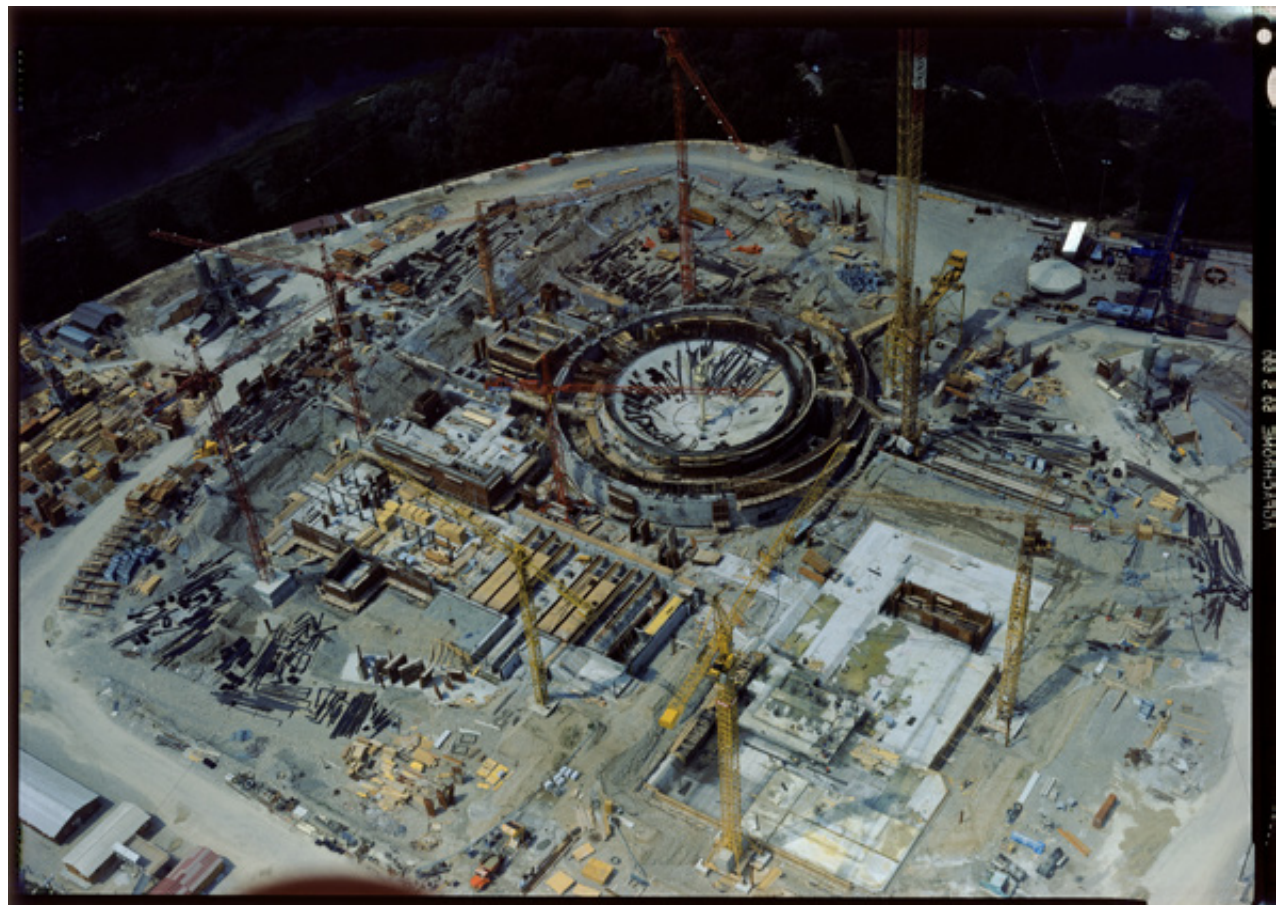
---

## **ATOMIC ERA**



**Fig. 45.** Protests against the Construction of  
the Power Plant, 1970

## ATOMIC ERA



**Fig. 46.** Gösgen, Switzerland, 1975  
Construction of the Power Plant

## ATOMIC ERA



**Fig. 47.** Gösgen, Switzerland, 1975  
Construction of the Power Plant

## ATOMIC ERA



**Fig. 48.** Gösgen, Switzerland, 1976  
Construction of the Power Plant

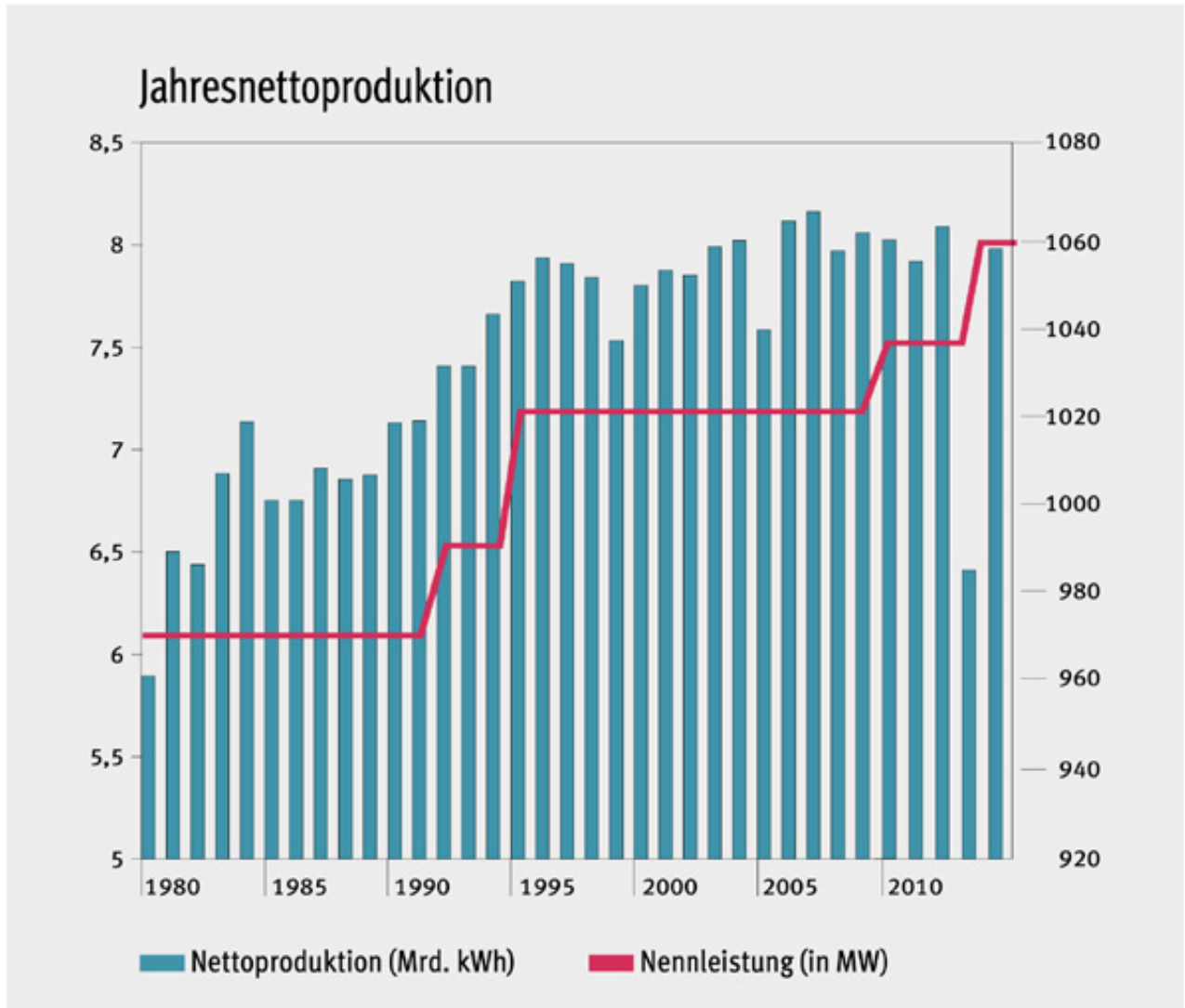


**Fig. 49.** Gösgen, Switzerland, 19756  
Construction of the Power Plant  
Inside view of the Reactor's metal Hull

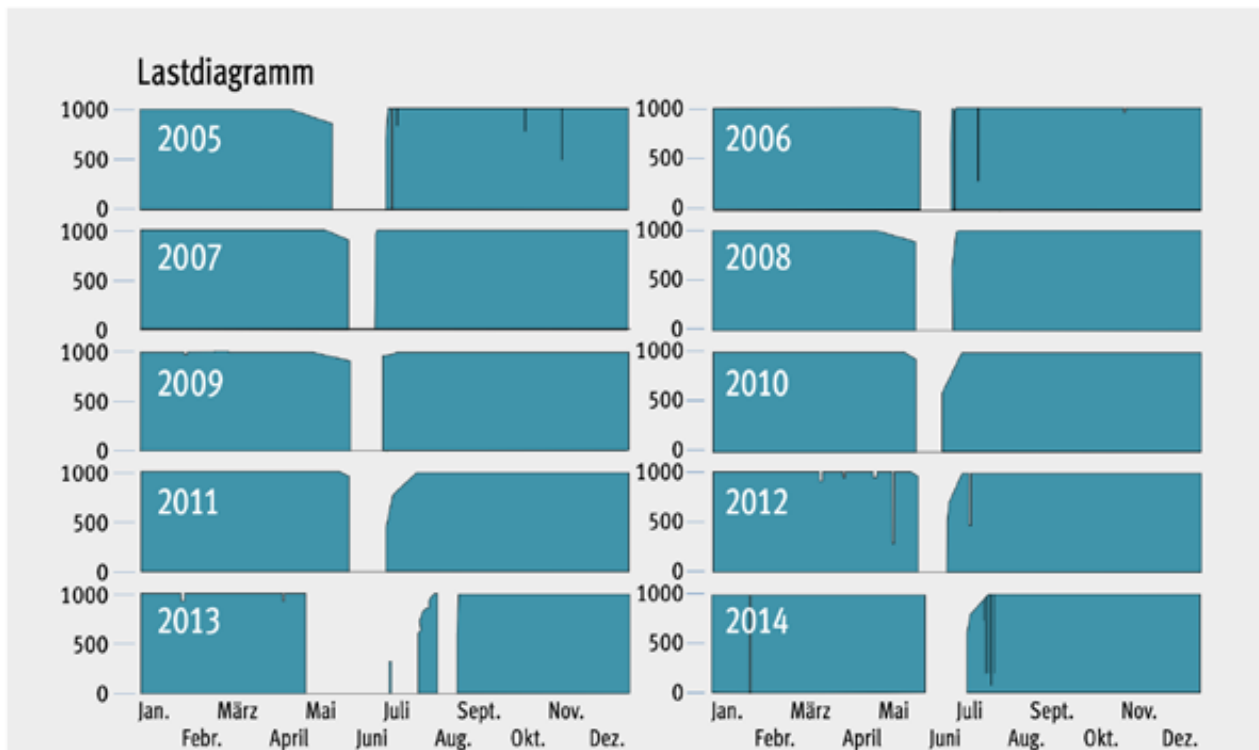
## ATOMIC ERA



**Fig. 50.** Gösgen, Switzerland, 1982  
Control Room AKW

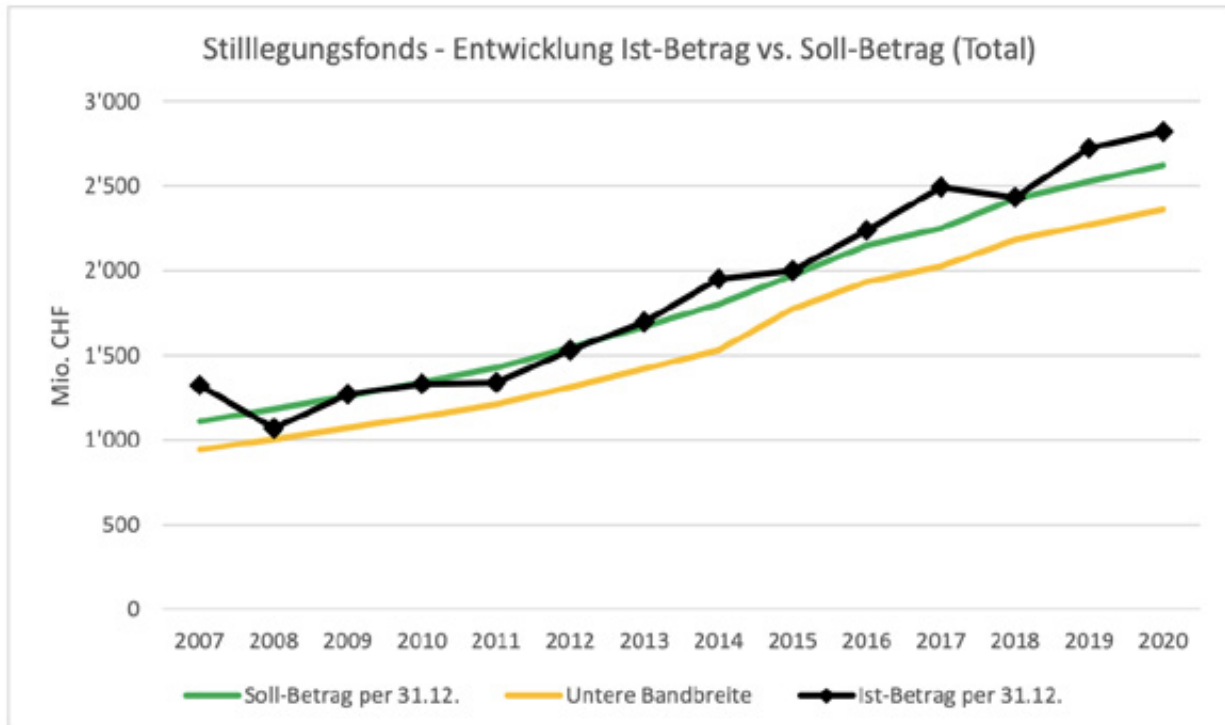


**Fig. 51.** Power Output AKW Gösgen  
1980 - 2020



Die geplanten Produktionsunterbrüche für den Brennelementwechsel und die Jahresrevision erfolgen Mitte Jahr. (2013: längere Jahresrevision aufgrund der Modernisierung der Turbogeneratorgruppe)

**Fig. 52.**  
Annual Power Load of the AKW Gösgen

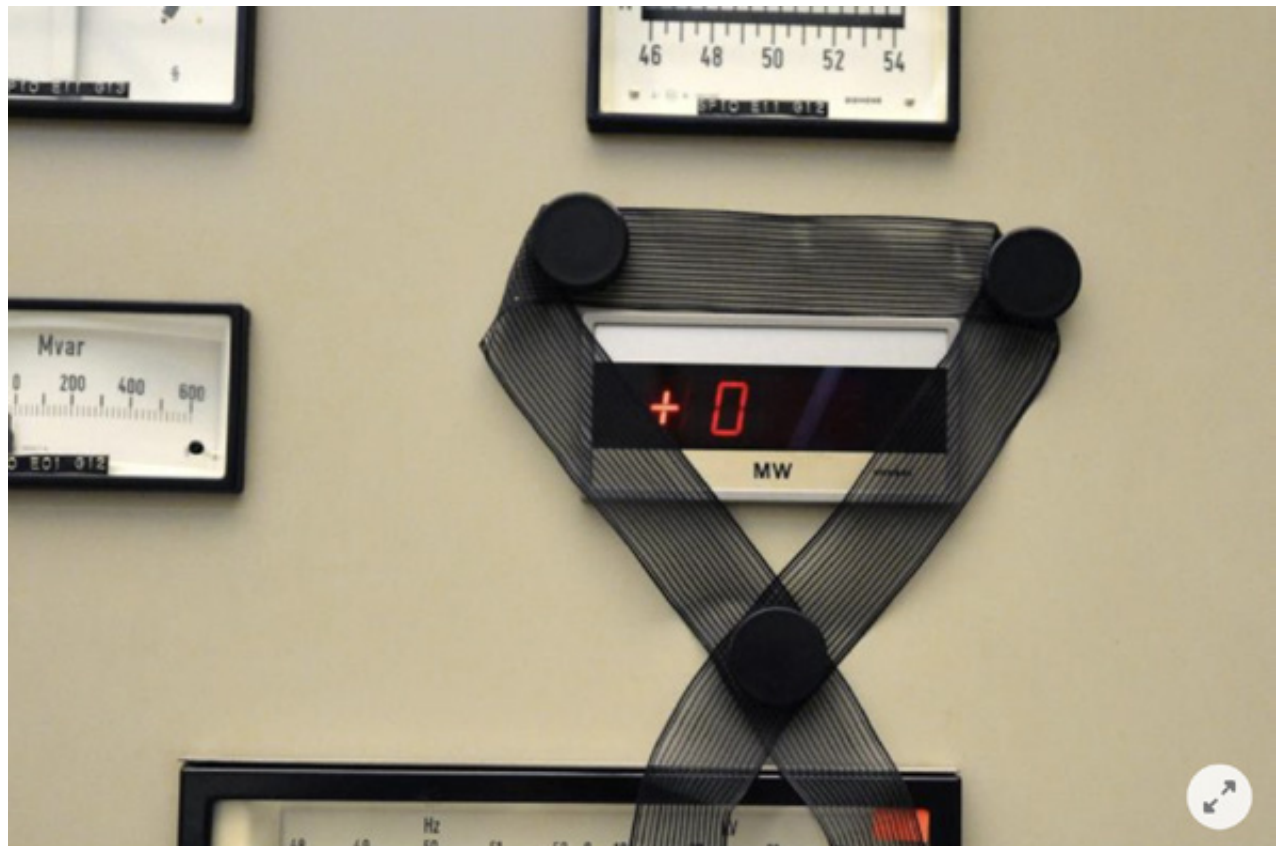


**Fig. 53.** Funds for the Shut-Down and Disposal of Atomic Waste



**Fig. 54.**  
Hot Cell for handling of radio active Material  
Paul Scherrer Institute, Switzerland

## ATOMIC ERA

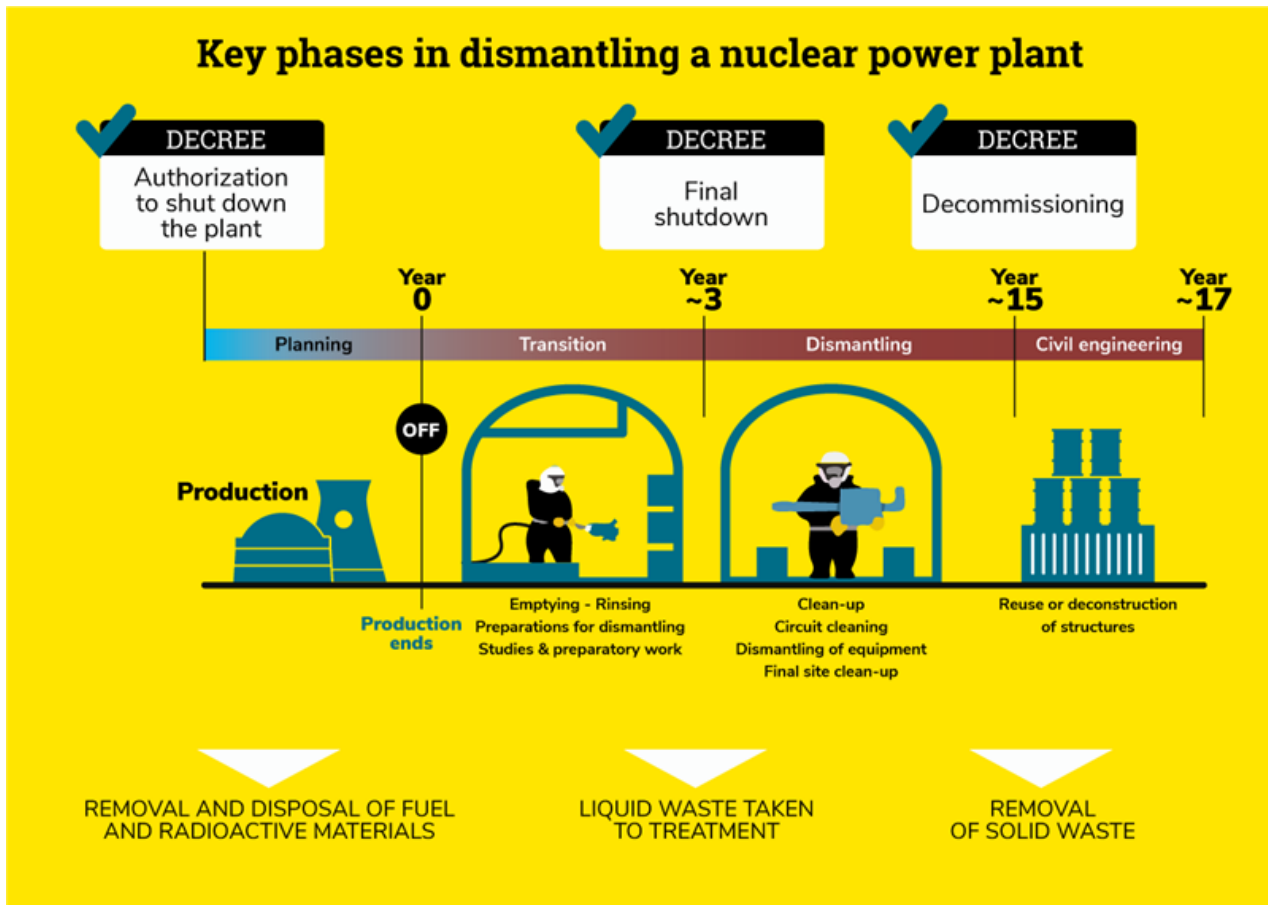


Null Megawatt: Ein Trauerflor umrandet in der Steuerzentrale des Atomkraftwerks in Stade (Niedersachsen) die Energieanzeige. Seit der Stilllegung im November 2003 steht sie auf Null

Quelle: dpa

**Fig. 55.** Power Meter  
Power Plant in Stade, Germany  
2003

## ATOMIC ERA



**Fig. 56.**

On how to dismantle an Atomic Power Plant

CASTOR® geo32CH

# First Approval Applied for in Switzerland

In 2027, the first of 51 CASTOR® geo32CH is to be loaded at the Swiss Gösgen nuclear power plant (KKG). The Swiss safety authority ENSI has begun the initial approval process for the newly developed series.

For the first time, GNS prepared an Integrated Safety Case (ISC), a safety analysis report that combines the proofs required under traffic and storage regulations. GNS then submitted the traffic regulation part to ENSI, while KKG as the

subsequent cask owner submitted the storage regulation part. The procedure also includes missile and a drop tests. The fabrication of the casks will begin following the procedure of approval that will take around four years.



**Fig. 57.**  
Safe Storage Casks for atomic Waste

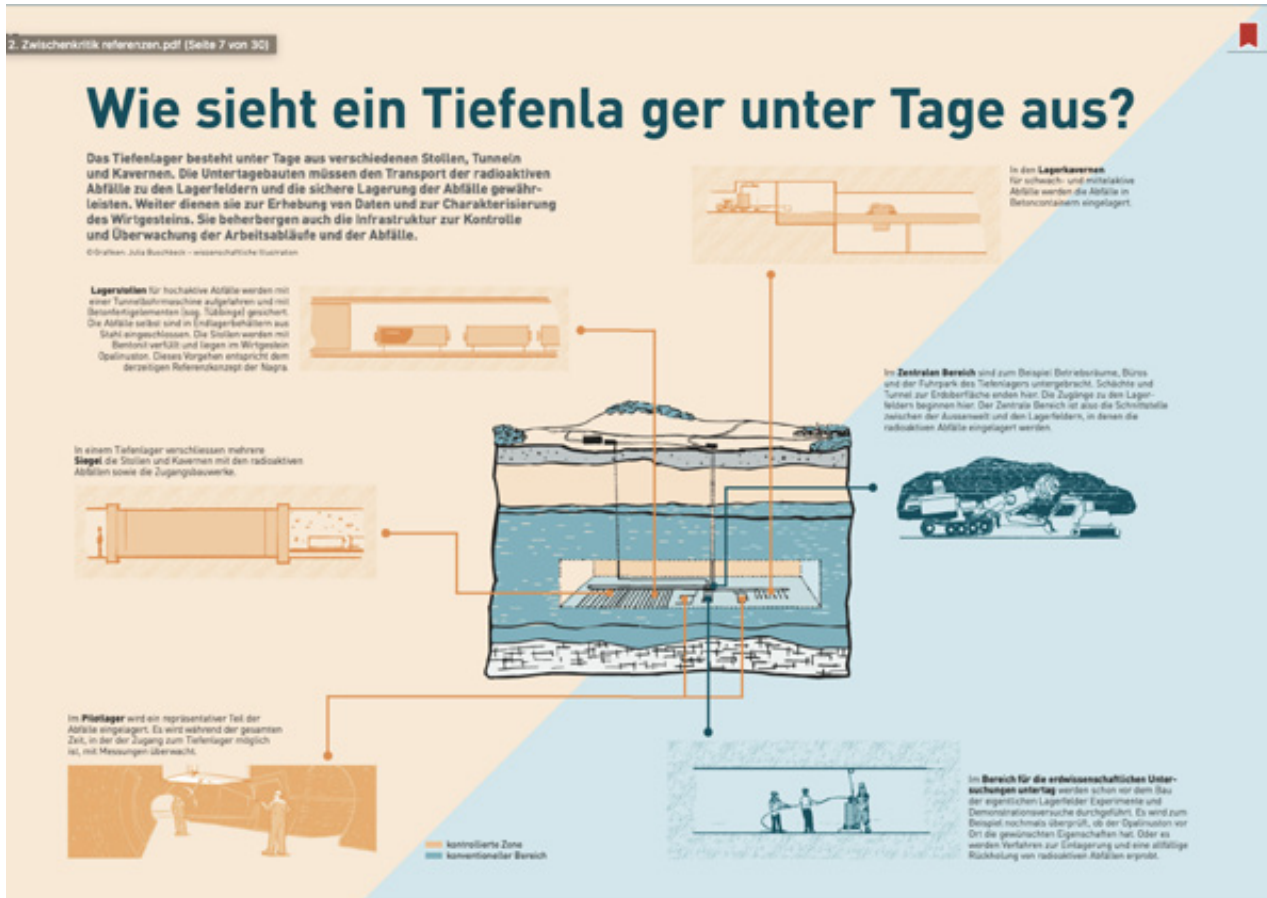


**Fig. 58.** Würenlingen, Switzerland 2006  
Dismantling of the research Reactor Diorit

## ATOMIC ERA

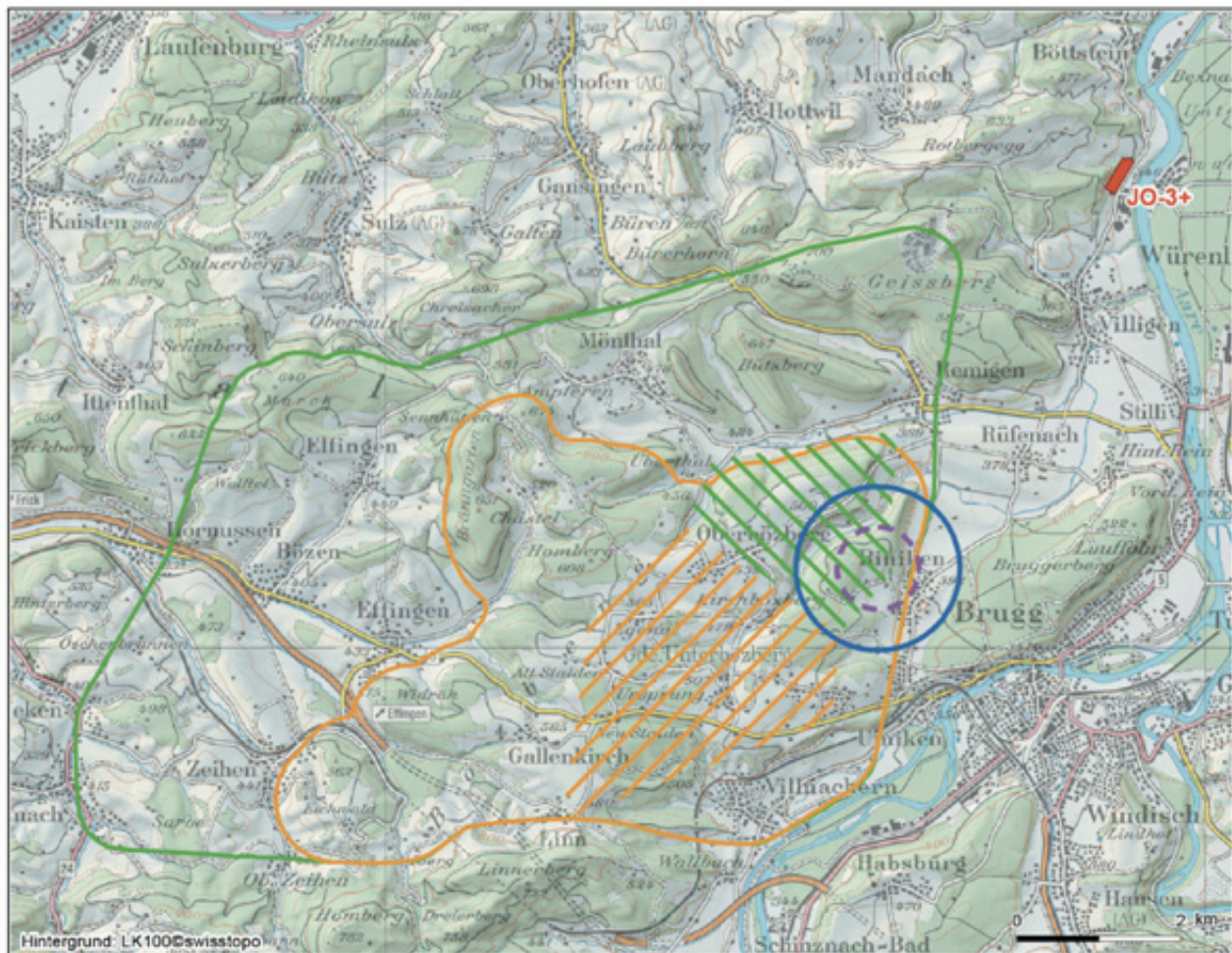


**Fig. 6o.** Hamm, Germany 2021  
Collapsed Cooling Tower



**Fig. 61.** Information Pamphlet NAGRA  
How could Deep Storage look like?

## ATOMIC ERA



- Standortareale OFA Kombi (SGT Etappe 2)
- Geologische Standortgebiete SGT E2
- Standortgebiet SMA
- Referenzprojekt Kombilager
- Potenzielle Lagerzone SMA
- Potenzielle Lagerzone HAA
- HEB
- NZA-Perimeter

**Fig. 62.** Bözberg, Switzerland  
Potential Site for Deep Storage

PART FIVE

---

## **HYPOXIC ARCHIVE**

**732.12**

**Safeguardsverordnung  
(SaV)**

vom 4. Juni 2021 (Stand am 1. Juli 2021)

*Der Schweizerische Bundesrat,  
gestützt auf Artikel 101 Absatz 1 des Kernenergiegesetzes vom 21. März 2003<sup>1</sup>  
(KEG),  
auf die Artikel 4, 11 und 22 Absatz 1 des Güterkontrollgesetzes  
vom 13. Dezember 1996<sup>2</sup> (GKG)  
sowie auf die Artikel 17 Absatz 2 und 47 Absatz 1 des Strahlenschutzgesetzes  
vom 22. März 1991<sup>3</sup> (StSG),  
verordnet:*

**1. Abschnitt: Allgemeine Bestimmungen**

**Art. 1** Gegenstand und Zweck

<sup>1</sup> Diese Verordnung regelt insbesondere den Vollzug des Abkommens vom 6. September 1978<sup>4</sup> zwischen der Schweizerischen Eidgenossenschaft und der Internationalen Atomenergie-Organisation (IAEO) über die Anwendung von Sicherungsmassnahmen im Rahmen des Vertrages über die Nichtverbreitung von Kernwaffen (Safeguardsabkommen) und des Zusatzprotokolls vom 16. Juni 2000<sup>5</sup> zum Safeguardsabkommen.

<sup>2</sup> Sie hat zum Zweck sicherzustellen, dass Materialien und Tätigkeiten, die diesen Abkommen unterstehen, nur friedlichen Zwecken dienen.

**Art. 2** Geltungsbereich

<sup>1</sup> Diese Verordnung gilt für:

- a. folgende Materialien:
  1. Ausgangsmaterialien nach Artikel 1 Absatz 1 Buchstabe a der Kernenergieverordnung vom 10. Dezember 2004<sup>6</sup> (KEV) und besondere spaltbare Materialien nach Artikel 1 Absatz 1 Buchstabe b KEV,
  2. radioaktive Abfälle, die Materialien nach Ziffer 1 enthalten,
  3. Erze, aus denen Uran oder Thorium gewonnen werden;

AS 2021 359

1 SR 732.1

2 SR 946.202

3 SR 814.50

4 SR 0.515.031

5 SR 0.515.031.1

6 SR 732.11

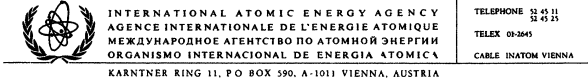
**Fig. 63.** Bern, Switzerland, 2021  
Swiss Safeguard Regulation



**Fig. 64.**

International Atomic Energy Agency  
Safeguard Implementation Handbook

# HYPOXIC ARCHIVE



INTERNATIONAL ATOMIC ENERGY AGENCY  
AGENCE INTERNATIONALE DE L'ENERGIE ATOMIQUE  
МЕЖДУНАРОДНОЕ АГЕНТСТВО ПО АТОМНОЙ ЭНЕРГИИ  
ORGANISMO INTERNACIONAL DE ENERGIA ATOMICA

KARNTNER RING 11, PO BOX 590, A-1011 VIENNA, AUSTRIA

TELEPHONE 22 42 11  
22 42 22  
TELEX 01-345  
CABLE INATOM VIENNA

IN REPLY PLEASE REFER TO  
PRIÈRE DE RAFFLER LA RÉFÉRENCE

## Some Considerations on Reactor Instrumentation, Control and Safety

by  
A. Keddar

### Panel on Instrumentation for Nuclear Power Plant Control

Vienna, 17 - 21 November 1969

power plants in the quest  
control systems, are taking  
on.

unnecessary shutdowns by  
ical equipment. Many  
tion of the instrumentation  
(e.g., data transmission, displays).  
rmance required of the nuclear  
asingly complex, and their  
ir reliability. Therefore  
servation, testing and  
tations are being built near

clear power plant instrumentation  
orm operational reliability  
s of control systems, in  
lear power plants requirements.

unction with coal and oil-  
(flow-rate) reliable sensing  
re available. The "nuclear"  
neutron flux density, reactor

are more complicated than  
sure their reliability  
Moreover, it has also been  
more accurately using in-core  
ore instrumentation showed  
cal and safety purposes;  
ude in-core instrumentation

ate

he

r  
rbine

ue  
ix

on

sec.  
ith

vided on one wide-range scale, when fission counter position is adjusted

**Fig. 65.** Vienna, Austria 1969  
Some Consideration on  
Rector Instrumentation



# HYPOXIC ARCHIVE



Nuclear Engineering and Technology 51 (2019) 1444–1450

Contents lists available at ScienceDirect

Nuclear Engineering and Technology

journal homepage: www.eisevier.com/locate/net

Original Article

## Neutron-shielding behaviour investigations of some clay-materials

S.F. Olakotun <sup>a,\*</sup>, Kulwinder Singh Mann <sup>b</sup>, S.T. Gbenu <sup>c</sup>, F.I. Ibityote <sup>c</sup>, O.F. Oladejo <sup>d</sup>, Amit Joshi <sup>e</sup>, H.O. Tekin <sup>f</sup>, M.I. Sayeed <sup>g</sup>, M.K. Fasasi <sup>h</sup>, F.A. Balogun <sup>i</sup>, Turgay Korkut <sup>j</sup>

<sup>a</sup> Department of Physics and Engineering Physics, Obafemi Awolowo University, Ile-Ife, Nigeria

<sup>b</sup> Department of Physics, College of Education, ETSBRI, Jos, Plateau State, Nigeria

<sup>c</sup> Centre for Energy Research and Development (CERD), Obafemi Awolowo University, Ile-Ife, Nigeria

<sup>d</sup> Department of Mathematical and Physical Science, Osun State University, Osogbo, Nigeria

<sup>e</sup> Department of Electrical and Electronic Engineering, Obafemi Awolowo University, Ile-Ife, Nigeria

<sup>f</sup> Radiotherapy Department, Dildar University, Vocational School of Health Services, Istanbul, 34672, Turkey

<sup>g</sup> Physics Department, Faculty of Science, University of Tabuk, Saudi Arabia

<sup>h</sup> Department of Nuclear Energy Engineering, Faculty of Engineering, Siap University, 57000, Siap, Turkey

\*Corresponding author.

E-mail address: olakotun@oau.edu.ng, olakotund@yahoo.com

(S.F. Olakotun).

Received 23 December 2017

Received in revised form

15 February 2019

Accepted 31 March 2019

Available online 24 April 2019

Keywords:

Composite materials

Effective removal cross-section

Mass removal cross section

Mean free path

Fast-neutrons

WinNC-toolkit

MCNPX

GEANT4

## ARTICLE INFO

### ABSTRACT

The fast-neutron shielding behaviour (FNSB) of two clay-materials (Ball clay and Kaolin) of Southwestern Nigeria (74°9' N, 45°5' E) have been investigated using effective removal cross section,  $\Sigma_{\text{eff}}(\text{cm}^{-1})$ , mass removal cross section,  $\Sigma_{\text{rem}}(\text{cm}^2\text{g}^{-1})$  and Mean free path,  $\lambda$  (cm). These parameters describe neutron shielding behaviour of samples. The values of these parameters have been used to compute these parameters. The toolkit evaluates these parameters by using elemental compositions and densities of samples. The proficiency of WinNC-Toolkit code was probe by using MCNPX and GEANT4 to model fast neutron shielding behaviour of the samples under narrow beam geometry, intending to represent the real physical situation. The results obtained from the MCNPX and GEANT4 codes were compared. The samples was also carried out. The results from each of the methods for each types of the studied clay-materials (Ball clay and Kaolin) shows similar trend. The trend might be the fingerprint of water content retained in the samples during the experiment. The removal cross sections of some samples have been obtained by Particle-Induced X-ray Emission (PIXE) technique (Tandem Pelletron Accelerator 17 MV, Model 55DH). The FNSB of the selected clay-materials have been compared with standard concrete. The cognizance of various factors such as availability, thermal conductivity and water retaining ability by the clay-samples can be analyzed. The efficiency of clay material for their FNSB has been evaluated. © 2019 Korean Nuclear Society. Published by Elsevier Korea LLC. This is an open access article under the CC BY-NC-ND license (<http://creativecommons.org/licenses/by-nc-nd/4.0/>).

## 1. Introduction

The nuclear-technology is useful in several fields such as industry, medicine, agriculture and scientific research. It is a reliable and clean power-source [1]. Besides numerous advantages of this technology some precautions should be taken to avoid the exposure to harmful ionizing radiations such as neutrons, gamma-rays, charged-particles and fission fragments. The risks of radiation-hazard put major restriction on excessive use of nuclear-technology to fulfill the increasing demand of power.

Various studies have shown that exposure to the ionizing

radiations can cause harm to both living and non-living things [2–4]. Thus, the protection against radiation hazard and also reduce the menace to the public and associated property [3]. During reactor-shielding, the shielding of neutrons and γ-rays are the major concern. Since any material that attenuates neutrons and γ-rays, effectively attenuates other type of nuclear-radiations [4–10]. According to Oak ridge national laboratory [11], one of the radiations should be intrinsically tied to the opinion of the world's first self-sustaining chain nuclear reactor during the year 1943. Several materials have been investigated for the radiation-shielding purpose. Beside from good radiation-shielding behaviour of a material, it should possess necessary physicochemical properties such as melting point, compactness, thermo-chemical instability etc. Thus, for innovation applications of the nuclear-technology in different fields necessitate the continuous search for better shielding-materials.

\* Corresponding author.

E-mail address: olakotun@oau.edu.ng, olakotund@yahoo.com

(S.F. Olakotun).

<https://doi.org/10.1016/j.net.2019.03.019>

© 2019 Korean Nuclear Society. Published by Elsevier Korea LLC. This is an open access article under the CC BY-NC-ND license (<http://creativecommons.org/licenses/by-nc-nd/4.0/>).

Concrete Samples	Density (g/cm <sup>3</sup> )	Measured values of $\Sigma_{\text{eff}}$ (cm <sup>-1</sup> )	Manual Calculation [15, 43]	Experimental Measurement [15, 43]
Ordinary-concrete	2.30	0.0930	0.0937	0.1083
Hematite-concrete	2.50	0.0978	0.0967	0.1160
Hematite-kaolinite	2.50	0.0983	0.0959	0.1131
Basalt-magnetite	3.05	0.1108	0.1102	0.1270
Ilmenite	3.50	0.1111	0.1121	0.1625
Steel Scrap	4.00	0.1220	0.1247	0.1654
Steel-magnetite	5.13	0.1421	0.1420	0.1680

radiations can cause harm to both living and non-living things [2–4]. Thus, the protection against radiation hazard and also reduce the menace to the public and associated property [3].

During reactor-shielding, the shielding of neutrons and  $\gamma$ -rays are the major concern. Since any material that attenuates neutrons and  $\gamma$ -rays, effectively attenuates other type of nuclear-radiations [4–10].

According to Oak ridge national laboratory [11], one of the radiations should be intrinsically tied to the opinion of the world's first self-sustaining chain nuclear reactor during the year 1943.

Several materials have been investigated for the radiation-shielding purpose. Beside from good radiation-shielding

behaviour of a material, it should possess necessary physicochemical properties such as melting point, compactness, thermo-chemical instability etc. Thus, for innovation applications of the nuclear-technology in different fields necessitate the continuous search for better shielding-materials.

© 2019 Korean Nuclear Society. Published by Elsevier Korea LLC. This is an open access article under the CC BY-NC-ND license (<http://creativecommons.org/licenses/by-nc-nd/4.0/>).

information of FNSB using various shielding parameters of the

ed

is

th

ter

of

on

re

re

se

## HYPOTIC ARCHIVE



**Fig. 68.** London, United Kingdom 2016  
British National Library

# HYPOXIC ARCHIVE

**PROJEKTDATEN**

Projekt	Neubau Kooperative Speicherbibliothek Schweiz
Adresse	Grundmattenstrasse 10, 8030 Zürich
Büroschafft	Spenderbau AG Von der Planung bis zur Ausführung
Gesamtkonzept / Architekt	Büro A + Konsortium Architekten AG, Zürich HKA Partner Landschaftsarchitektur: Jürgen Lüscher Elektroplaner: Jürgen Höliger AG, Zürich Baugutachten: Regula Ströbl & Partner, Zürich Leicht- und Betonbauteile: Holzleitner + Partner Fassadenplanung: Metallbaupartner AG, Aarau/Switzerland
Projektdat / Termine	Offizieller Wettbewerb: Sommer 2010 Vakuumberatung: November 2010 Architektenwettbewerb: Februar 2011 Basisplanung: August 2011 Basisbau: Februar 2012 Bauzeit: 18 Monate
Baukosten	Grundstücke: CHF 11'800'000 Gebäudegrundfläche: CHF 410'000 Gesamtbaufläche: CHF 7'700'000 Gesamtkosten: CHF 1'180'000'000 Gebäudefreimiete: CHF 3'000'000 Fassadenfläche: CHF 42'900'000
Anlagenkosten	BFM 1 Grundstück: Fr. 2'150'000 BFM 2 Archivierungstechnik: Fr. 1'000'000 BFM 3 Gebäude: Fr. 1'410'000 BFM 4 Betriebsleistungen: Fr. 1'000'000 BFM 5 Ausbauarbeiten: Fr. 1'000'000 BFM 6 Ausbauarbeiten: Fr. 1'000'000 Total Anlagenkosten: Fr. 30'780'000
Lager	Kapazität: 2.1 Mio. Werke (4 Mio. im Verhältnis) Dimensions: 76,2 m x 23,0 m x 19,4 m (l x b x h) Fachrat: max. 1.254kg Festlast: max. 2.000kg

**EN PROJET DE LA SUPERLATIVE**

**GESCHÄFTS UND MOTIVATION**

Die Kooperative Speicherbibliothek Schweiz ist ein Gemeinschaftsprojekt von 12 Bibliotheken aus den Kantone Zürich, Basel und Zürich und der Zentralbibliothek Zürich.

Die Bibliothek leidet unter beschränktem Platz in ihren Magazinen und kann nicht mehr alle Sammlungen realisieren. Ein grosses gemeinsames Ausserungsziel gab es nicht, aber es gab eine gemeinsame Vision für die Prozesse, bei der auch konservatorische und technologische Anforderungen vollständig erfüllt werden können.

Die Kooperative Speicherbibliothek Schweiz konnte mit dem Projekt einen Beitrag zu einer beständigen Verbesserung der Arbeitsbedingungen des Archivs leisten.

**KONZEPT**

Vorlage für die Planung war eine lösungsoffenen Architektur und ein Verwaltungsrat, die beiden Nutzergruppen unterschiedliche Anforderungen an das Archiv erfüllen kann. Die Regierung des Kantons Zürich und die Stadt Zürich schlossen einen Standortausvertrag von 20 Jahren ab.

Zudem identifizierte die Architekten am besten geeignete Varianten der Archivierungstechnik, um die Kosten zu senken und die Archivierung zu optimieren.

Die Fassade ist eine Kombination aus einem Stahlrahmen und einer farbigen, leicht verformbaren Fassadenhaut, die die Archivierung leichter gestaltet.

**FASSADESKONSTRUKTION UND FASSADENGESTALTUNG**

Die Fassade besteht aus einer geprägten Verkleidung, die wie ein Zierharmonika-Blatt aussieht. Sie besteht aus einem grünen, markanten Zahnräder-Modell, das die Archivierung leichter gestaltet.

**BAU, TECHNIK, INFRASTRUKTUR**

Das Gebäude der Kooperativen Speicherbibliothek Schweiz ist ein zweigeschossiges Bauwerk auf Minergiestandard. Es verfügt über ein modernes, grünes, markantes Zahnräder-Modell, das die Archivierung leichter gestaltet. Die Betonwände der Rückwand sind ebenfalls grün und haben eine markante Öffnung für die Erweiterung des Archivs.

Der Kran in den Büros hat auch eine grüne Farbe. Das grüne Zahnräder-Modell auf der Rückwand ist ein grüner Zahnräder-Modell auf der Rückwand.

**Geplante Nutzung:**

- Das Grundstück wird eine Fläche von 11'800 m<sup>2</sup> haben.
- Die Netzgeschossfläche beträgt 4'100 m<sup>2</sup>.
- Es steht auf 250 Betonpfählen und hat eine maximale Spannweite von 12 m.
- Das Gebäude hat 5 Geschosse:

  - Metallkorb: das erste Modul hat eine Kapazität von 2.1 Mio. Werken (4 Mio. im Verhältnis).
  - Die anderen Module haben Modulen auf bis zu 14 Mio. Werke.
  - Geplant wird der Bau durch eine grüne Fassade und eine grüne Architektur sowie eine Umwandlung.
  - Die Architektur ist eine grüne Architektur, die die Architektur der drei Lehrerinnen und Wenden mit Lehr- und Lernräumen verbindet.

**Technische Daten Lager**

- Aufstellfläche: 2.000'000 Plätze
- Anlagehöhe: 14,6 m
- Anlagebreite: 12,0 m
- Anlagehöhe: 19,8 m
- Regalfelder: 1'000 m<sup>2</sup>
- Feldteil: max. 2.200 kg

**Organisation und Finanzierung**

Die Kooperativen Speicherbibliothek Schweiz ist eine gemeinnützige, paravereinlich organisierte Institution. Diese erhält das Regabonnement für die gesamte Bibliothek und die gesamte Bibliothek.

Das RSG kauft den Behälter mit dem gesamten Archiv aus dem Lager. Über den Ort und die Art der Archivierung prangt er schweizisch an den Archivierern. Der Behälter ist grün und verdeckt.

**Fig. 69. Sursee, Switzerland National Library Storage Center 2016**

5 - 7